

**CENTRO PAULA SOUZA**  
**FATEC SANTO ANDRÉ**  
**Tecnologia em Eletrônica Automotiva**

**FELIPE MAROTTI MOCHIUTI**

**ANÁLISE DE DESEMPENHO ECU FATEC V**

**SANTO ANDRÉ**

**2020**

**FELIPE MAROTTI MOCHIUTI**

**ANÁLISE DE DESEMPENHO ECU FATEC V**

Trabalho de conclusão de curso apresentado ao Curso Tecnologia em Eletrônica Automotiva da FATEC Santo André orientado pelo professor Me. Wesley Medeiros Torres como requisito parcial para a obtenção do título tecnólogo em Eletrônica Automotiva

**Santo André**

**2020**

M688a

Mochiuti, Felipe Marotti

Análise de desempenho ECU FATEC V / Felipe Marotti Mochiuti.

- Santo André, 2020. – 99f: il.

Trabalho de Conclusão de Curso – FATEC Santo André.

Curso de Tecnologia em Eletrônica Automotiva, 2020.

Orientador: Prof. Wesley Medeiros Torres

1. Eletrônica. 2. Veículos. 3. Sincronismo do motor. 4. Injeção eletrônica. 5. Sincronismo ECU. I. Análise de desempenho ECU FATEC V.

629.2

FELIPE MAROTTI MOCHIUTI

## **ANÁLISE DE DESEMPENHO ECU FATEC V**

Trabalho de Conclusão de Curso  
apresentado a FATEC SANTO ANDRÉ como  
requisito parcial à obtenção de título de Tecnólogo  
em Eletrônica Automotiva

### **BANCA EXAMINADORA**

**Local: Fatec Santo André**

**Horário: 08:00**

**Data: 09/07/2020**

Prof. Me. Wesley Medeiros Torres  
Presidente da Banca  
Fatec Santo André

Prof. Fernando Dalbo Garup  
Primeiro membro da Banca  
Fatec Santo André

Prof. Dr. Armando Antônio Maria Laganá  
Segundo Membro da Banca  
Fatec Santo André

**SANTO ANDRÉ**

**2020**

## **DEDICATÓRIA**

Dedico esse trabalho acadêmico a minha esposa e companheira Carolina, que me apoiou desde o início e compreendeu a necessidade de minha ausência em dias que precisei me ausentar para me aplicar aos estudos.

## AGRADECIMENTOS

São muitas as pessoas que me ajudaram a chegar na presente data com a perseverança e conhecimento para concluir a primeira etapa deste trabalho de graduação, então, citarei apenas as pessoas que tiveram uma contribuição direta na realização deste projeto.

Começo agradecendo aos professores que tive a enorme satisfação de conhecer e poder ter o privilégio de aprender sobre o tema principal do trabalho. São eles, Professor Marco Aurélio Froés, que além de lecionar os conceitos de motores de combustão interna e sanar algumas dúvidas, ajudou também Humberto Manavella em sua obra, uma das principais referências bibliográficas deste trabalho. Professor Armando Antônio Maria Laganá, quem introduziu com maestria os conceitos dos sensores e atuadores eletrônicos utilizados na Injeção Eletrônica (IE). O Professor Adriano Ribolla que com seu conhecimento e didática, torna fácil a compreensão de assuntos complexos no que diz respeito a sincronismo e funcionamento no motor de ciclo Otto como um todo. Professor Orlando de Salvo Junior, que traduz a linguagem da central de controle eletrônico do motor fazendo com que a diagnose desta seja de simples entendimento. Professor Wesley Medeiros Torres foi quem introduziu a arte e a capacidade da programação, que fez com que eu me interessasse e buscasse me aprofundar no assunto, e que não hesitou em me orientar neste projeto.

Agradeço também quem colaborou e prestou seu tempo e atenção para me ajudar seja com material de apoio ou mesmo tirando algumas dúvidas. Paulo Costa do canal Carro & Técnica Treinamentos Automotivos no *Youtube*, que apesar de não ter formação acadêmica, mas 25 anos de experiência na área automotiva, me tirou dúvidas e apontou materiais de consulta técnica. Bruno Martin de Alcântara Dias, formado na Fatec e mestrado na Politécnica, cedeu material de sua dissertação de mestrado para eu compor em meu trabalho acadêmico.

## RESUMO

Com a evolução da tecnologia automotiva, no que se refere ao controle do Motor de Combustão Interna (MCI), faz com que seu projeto seja muito complexo, envolve requisitos funcionais e não funcionais, como potência, autonomia, baixa emissão de gases poluentes *etc.* E para atingir esses requisitos, é empregado uma Unidade de Controle Eletrônico (ECU) para controlar o motor, composta por um *hardware* específico e um *software* desenvolvido para cada aplicação. Na FATEC Santo André, já foram desenvolvidos diversos projetos de ECU, e atualmente está na versão V. Então o trabalho busca apresentar um estudo comparativo da implementação do sub sistema de sincronismo da ECU, entre versões de código implementadas em linguagem C e *Assembly*.

**Palavras-chave:** Eletrônica, Veículos, Sincronismo do Motor, Injeção Eletrônica, Sincronismo ECU.

## **ABSTRACT**

With the evolution of automotive technology with regards to the control of the Internal Combustion Engine, it makes the project very complex involving functional and non-functional requirements such as power, autonomy, low emission of polluting gases etc. And to achieve these requirements an ECU (Electronic Control Unit) is used to control the engine, consisting of a specific hardware and software developed for each application. At FATEC Santo André, several ECU projects have already been developed and it is currently in version. So the work seeks to present a comparative study of the implementation of the ECU sub-timing system, between code versions implemented in C and Assembly languages.

**Keywords:** Electronics, Vehicles, Engine Timing, Electronic Fuel Injection, ECU Timing.

## LISTA DE ILUSTRAÇÕES

Figura 1 - Veículo automotor de Cugnot	20
Figura 2 - Hippoobile	21
Figura 3 - Patente motor quatro tempos de Otto	22
Figura 4 - Triângulo do fogo	23
Figura 5 - Carburador	24
Figura 6 - IE	25
Figura 7 - Injeção Monoponto	26
Figura 8 - Injeção Multiponto Simultânea	27
Figura 9 - Injeção Multiponto Semissequencial	28
Figura 10 - Injeção Multiponto Sequencial	29
Figura 11 - Sensor de Posição da Válvula Borboleta	30
Figura 12 - Sensor de Massa de Ar	31
Figura 13 - Sensores de Temperatura de Ar	32
Figura 14 - Ponte de Wheatstone	33
Figura 15 - Sensor de Pressão Absoluta	33
Figura 16 – Sensor de Rotação	34
Figura 17 – Sensor de Fase	35
Figura 18 – Efeito Hall	35
Figura 19 – Sensor de Detonação	36
Figura 20 - Sensor de Oxigênio	37
Figura 21 – a) Pedal Acelerador b) Detalhe construtivo do potenciômetro	38
Figura 22 - Motor de Passo	39
Figura 23 - Válvula Solenoide	40
Figura 24 - Válvula Rotativa	40
Figura 25 - Atuador de Motor de Corrente Contínua	41
Figura 26 - Bomba de Combustível de Roletes	42
Figura 27 - Bomba de Combustível Centrífuga	43
Figura 28 - Injetor Bottom Feed	44
Figura 29 - Injetor Alimentação Superior	45
Figura 30 - Válvula Borboleta Eletrônica	46
Figura 31 - Válvula Canister	47
Figura 32 - Chaveamento de Alta Tensão	48

Figura 33 - Centelha Perdida	49
Figura 34 - Bobina de Faísca Única	50
Figura 35 - ECU simulação	56
Figura 36 - Sinal gerado	57
Figura 37 - ECU sincronismo	58
Figura 38 - Esquema de ligação entre ECUs de simulação e sincronismo.	58
Figura 39 - Esquema de funcionamento da CCP1 e CCP2.	59
Figura 40 - Sinais obtidos ECU sincronismo	60
Figura 41 - Fase no vigésimo dente	64
Figura 42 - Sinal da CCP1 com 3° de precisão	65
Figura 43 - Sinal gerado timer 0 com 1,5° de precisão	66
Figura 44 - Duração da rotina de interrupção em Assembly	67
Figura 45 - Duração da rotina de interrupção em linguagem C	68
Figura 46 - Sinal Roda fônica x roda virtual linguagem C a 800 rpm	69
Figura 47 - Sinal Roda fônica x roda virtual linguagem C a 1500 rpm	69
Figura 48 - Sinal Roda fônica x roda virtual <i>Assembly</i> a 4500 rpm	70
Figura 49 - Sinal Roda fônica x roda virtual <i>Assembly</i> a 5000 rpm	70

## LISTA DE ABREVIATURAS E SIGLAS

**MCI** - Motor de Combustão Interna

**IE** - Injeção Eletrônica

**ECU** - Unidade de Controle Eletrônico

**PMS** - Ponto Morto Superior

**PMI** - Ponto Morto Inferior

**NTC** - *Negative Temperature Coefficient*

**HEX** - Hexadecimal

**LED** - Light-Emitting Diode

## **LISTA DE GRÁFICOS**

Gráfico 1 - Curva Característica NTC	32
Gráfico 2 - Fluxograma programa simulação	63

## **LISTA DE TABELAS**

Tabela 1 - Gerações das linguagens de programação	52
Tabela 2 - Valores de tempo da ECU de simulação	61
Tabela 3 - Tabela valor inicial Timer 0	62
Tabela 4 - Sincronismo do primeiro dente da roda virtual	68

## **LISTA DE FÓRMULAS**

Fórmula 1 - Determinar valor inicial da contagem do timer

61

## SUMÁRIO

<b>1. INTRODUÇÃO .....</b>	<b>18</b>
1.1. Motivação.....	19
1.2. Objetivo.....	19
<b>2. REFERENCIAL TEÓRICO.....</b>	<b>20</b>
2.1. Breve história do automóvel.....	20
2.2. Combustão interna.....	22
2.3. Alimentação de combustível .....	23
2.3.1. Mecânica / Carburador.....	24
2.3.2. Eletrônica .....	24
2.3.2.1. Injeção monoponto .....	26
2.3.2.2. Injeção multiponto simultânea.....	26
2.3.2.3. Injeção multiponto semissequencial .....	28
2.3.2.4. Injeção multiponto sequencial .....	29
2.3.3. Sensores.....	29
2.3.3.1. Sensor de posição da válvula borboleta .....	30
2.3.3.2. Sensor de massa de ar .....	31
2.3.3.3. Sensor de temperatura de ar .....	32
2.3.3.4. Sensor de pressão absoluta .....	33
2.3.3.5. Sensor de rotação.....	34
2.3.3.6. Sensor de fase.....	35
2.3.3.7. Sensor de detonação .....	36
2.3.3.8. Sensor de oxigênio .....	36
2.3.3.9. Acelerador eletrônico .....	38
2.3.4. Atuadores.....	38
2.3.4.1. Atuador de marcha lenta.....	38
2.3.4.1.1. Motor de passo .....	39

2.3.4.1.2. Válvula solenoide.....	40
2.3.4.1.3. Válvula rotativa .....	40
2.3.4.1.4. Motor de corrente contínua .....	41
2.3.4.2. Bomba de combustível.....	42
2.3.4.2.1. Bomba de roletes.....	42
2.3.4.2.2. Bomba centrífuga.....	43
2.3.4.3. Válvulas injetoras de combustível.....	43
2.3.4.3.1. Injetores bottom feed .....	44
2.3.4.3.2. Injetores alimentação superior .....	45
2.3.4.4. Válvula borboleta eletrônica.....	46
2.3.4.5. Válvula canister.....	47
2.3.4.6. Bobina de ignição .....	47
2.3.4.6.1. Chaveamento de alta tensão .....	48
2.3.4.6.2. Centelha perdida.....	49
2.3.4.6.3. Bobina de faísca única.....	50
2.3.4.7. Linguagens de programação .....	50
2.3.4.7.1. Classificação das linguagens de programação .....	51
2.3.4.7.2. História das linguagens de programação.....	52
2.3.4.7.3. Linguagens de programação para sistemas de tempo real .....	53
2.3.4.7.4. Escolha da linguagem de programação.....	55
<b>3. DESENVOLVIMENTO .....</b>	<b>56</b>
3.1. Hardware de simulação dos sinais de sincronismo do motor .....	56
3.2. Hardware de sincronismo do motor .....	58
3.3. Software de simulação do motor.....	61
3.4. Software de sincronismo.....	63
<b>4. TESTES E RESULTADOS.....</b>	<b>67</b>
<b>5. CONCLUSÃO .....</b>	<b>71</b>

5.1. Trabalhos futuros .....	71
<b>6. REFERÊNCIAS.....</b>	<b>72</b>
<b>7. APÊNDICES .....</b>	<b>73</b>
7.1. Apêndice A - Programa simulador de sinais de rotação e fase.....	73
7.2. Apêndice B - Programa de sincronismo <i>assembly</i> .....	89
7.3. Apêndice C - Programa de sincronismo linguagem C .....	95

## 1. INTRODUÇÃO

O início da eletrônica no gerenciamento dos MCI, se deu com a alta do petróleo, fazendo com que o preço do combustível disparasse, diante dessa situação, a solução encontrada foi otimizar o uso de combustível visando a eficiência no consumo.

Tal solução foi o início do controle eletrônico da injeção de combustível, que, embora fosse um sistema inviável na época, no que se refere ao custo em relação ao sistema de injeção mecânica, devido ao alto custo de desenvolvimento, produção e manutenção, se fez o melhor caminho para otimizar a eficiência na combustão dos motores.

Com exceção do custo, a substituição do carburador pela IE é significativa na melhoria em alguns aspectos, estes são:

- Menor consumo de combustível: devido a dosagem mais precisa em qualquer regime de trabalho e condições ambientais tais como o clima e altitude;
- Drástica redução na emissão de poluentes: com a utilização da sonda *lambda*, é possível corrigir a mistura ar/combustível quase que em tempo real para uma combustão mais eficiente.
- Ganho significativo de potência: através da ignição eletrônica, que substitui os avanços de ignição mecânicos e a vácuo, é possível extrair do motor a melhor performance.
- Confiabilidade: com o uso de componentes eletrônicos que tem uma maior durabilidade, devido a eliminação de desgaste mecânico, e a diagnose presente nos módulos de IE, que fazem o aprendizado do desgaste e envelhecimento de alguns componentes.

Isso traz requisitos funcionais de controle e comunicação na ECU, que devem ser convertidos em componentes de *hardware* e *software*. No desenvolvimento de *software* os requisitos funcionais são convertidos em arquivos executáveis (HEX), já no *hardware* são os circuitos integrados e microcontroladores. Então, o próximo passo é a decisão da linguagem de programação, que, é um fator muito importante visto que, implica diretamente no tempo de desenvolvimento, complexidade, manutenções e

futuras expansões do *software* desenvolvido. Naturalmente a linguagem C se torna a mais viável para sistemas embarcados.

## 1.1. Motivação

Dentre os trabalhos já desenvolvidos na FATEC Santo André visando o projeto da ECU, todos visaram a implementação do *software* utilizando linguagem de alto nível, Linguagem C.

Porém, é sabido que o uso de linguagens de alto nível para o desenvolvimento de *software* embarcado para o controle de sistemas de tempo crítico é um ponto importante que deve ser levado em consideração, pois durante o processo de geração do arquivo HEX, o compilador deverá traduzir a linguagem de alto nível para mnemônicos do microcontrolador.

O controle de sincronismo é o subsistema mais crítico, pois, realiza o controle da injeção de combustível e avanço do ponto de ignição, o correto controle determinará o quão eficiente será o sistema de controle de motor. A partir desse preceito, o presente trabalho tem como objetivo desenvolver um sistema de sincronismo do motor utilizando linguagem *Assembly*.

## 1.2. Objetivo

O objeto deste trabalho é desenvolver um estudo comparativo entre a implementação do *software* do sistema de sincronismo da ECU FATEC nas linguagens C e *Assembly*, baseando-se nas implementações dos trabalhos de (PEREIRA B.C.F., 2013.), (MOSCARDINI & MATA, 2014.), (JUNIOR & JATO & HIROKI, 2016.) e (SOCORRO & MERIZIO & LOPES & SILVA.). Dessa forma, podendo mensurar as diferenças de respostas temporais do sistema de sincronismo

## 2. REFERENCIAL TEÓRICO

### 2.1. Breve história do automóvel

Não existe uma data exata referente a criação do primeiro automóvel, na verdade houveram diversos desbravadores que, através de adaptações sucessivas buscavam se deslocar num menor espaço de tempo com o menor consumo de energia possível. (CAPELLI, 2010)

O primeiro registro foi no ano de 1769 no reino unido, quando Nicolas Cugnot criou um veículo a vapor, ilustrado na figura 1. Equipados com caixa de velocidades e direção estes veículos chegaram a ser comercializados fazendo necessária a criação de leis de trânsito, das quais todo veículo automotor deveria transitar atrás de um indivíduo que percorria afrente do veículo sinalizando o tráfego deste. (CAPELLI, 2010 p. 15)

Figura 1 - Veículo automotor de Cugnot



Fonte: Adaptado de <https://www.learning-history.com> (2019)

Em 1860 veio o primeiro veículo com um MCI, como mostra a figura 2, idealizado pelo belga Etienne Lenoir era movido a gás de carvão. Este veículo percorreu sete milhas em três horas. (CAPELLI, 2010 p. 15)

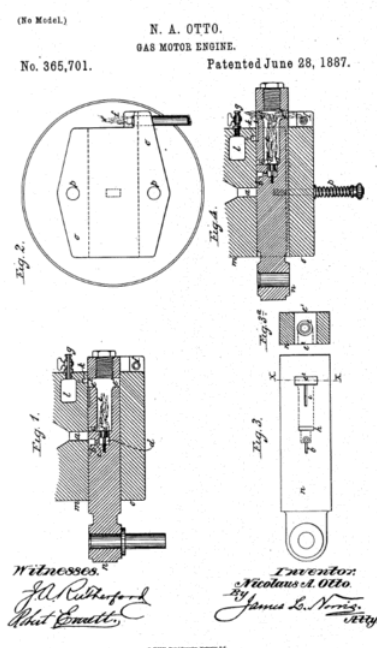
Figura 2 - Hippobile



Fonte: <http://www.autoentusiastasclassic.com.br> (2019)

Em 1876 Nikolaus Otto otimizou o MCI que operava com quatro tempos, o combustível utilizado era o gás de iluminação. Só no ano de 1886, Karl Benz construiu o primeiro veículo com um MCI a gasolina. Contudo, a patente do MCI de quatro tempos é de Nikolaus Otto, apresentado na figura 3. (CAPELLI, 2010 p. 15)

Figura 3 - Patente motor quatro tempos de Otto



Fonte: Adaptado de (CAPELLI, 2010 p. 16) (2019)

## 2.2. Combustão interna

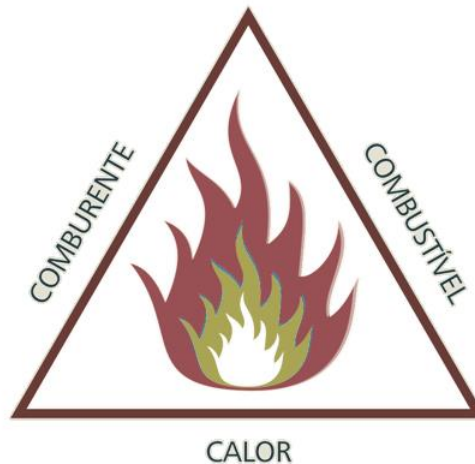
A protagonista por trás do conceito de locomoção dos veículos automotores desde os primórdios até os dias de hoje, a combustão interna tem o papel de converter o combustível em trabalho para então fazer com que o veículo se locomova.

Através da conversão da energia química, contida nos combustíveis utilizados na combustão nos motores, em energia térmica que se dá devido ao aumento da temperatura na câmara de combustão, fazendo com que o gás se expanda empurrando assim o êmbolo do Ponto Morto Superior (PMS) ao Ponto Morto Inferior (PMI). Este deslocamento linear do êmbolo, que está ligado um sistema biela manivela, converte o movimento linear em rotação que é transmitido às rodas através do sistema de transmissão. (CAPELLI, 2010 p. 186)

Para que haja combustão são necessários três componentes como ilustrado da figura 4:

- CALOR: agente de detonação, no caso a centelha da vela;
- COMBURENTE: ar atmosférico, especificamente o oxigênio;
- COMBUSTÍVEL: hidrocarbonetos, gasolina ou álcool.

Figura 4 - Triângulo do fogo



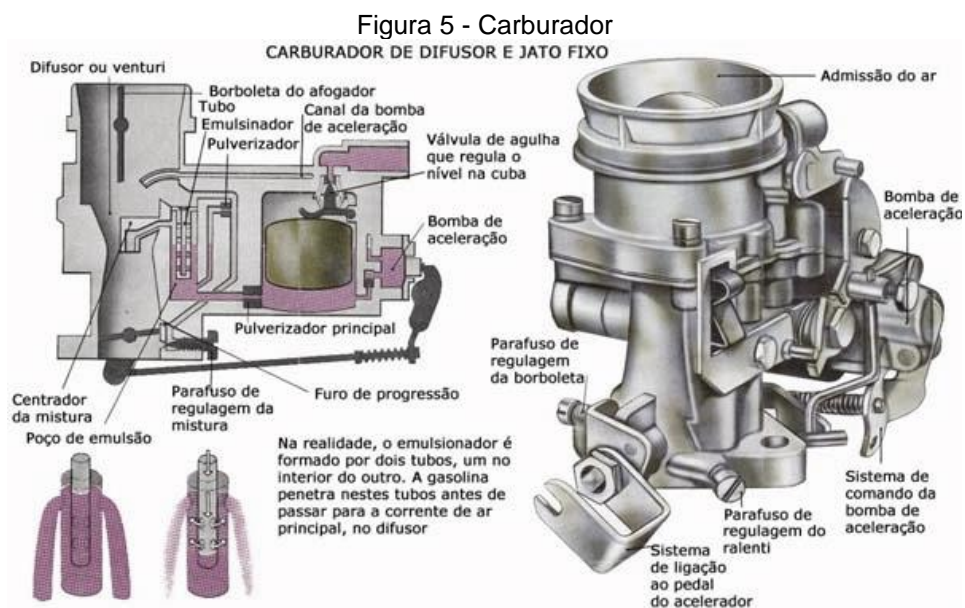
Fonte: Adaptado de <https://www.cursodebombeiro.com.br/> (2019)

### 2.3. Alimentação de combustível

Como em toda e qualquer área a evolução tecnológica, no que se refere ao automóvel e seus componentes, tem como referência os primórdios. Na alimentação do motor não seria diferente, visto que a IE, embora hoje não se assemelhe tanto ao sistema de alimentação mecânica devido ao aprimoramento constante da tecnologia, teve seu início basicamente na automação do carburador e os componentes do motor.

### 2.3.1. Mecânica / Carburador

O carburador, representado na figura 5, nada mais é do que um dosador mecânico, que através de orifícios calibrados de acordo com o volume do motor e o combustível utilizado, regula a quantidade de combustível a ser diluído ao ar admitido através da abertura da válvula borboleta, que conforme abre aumenta o fluxo de ar, aumentado assim a quantidade de combustível arrastado pela depressão gerada pelo êmbolo do motor no curso do PMI ao PMI. (CAPELLI, 2010 p. 241)

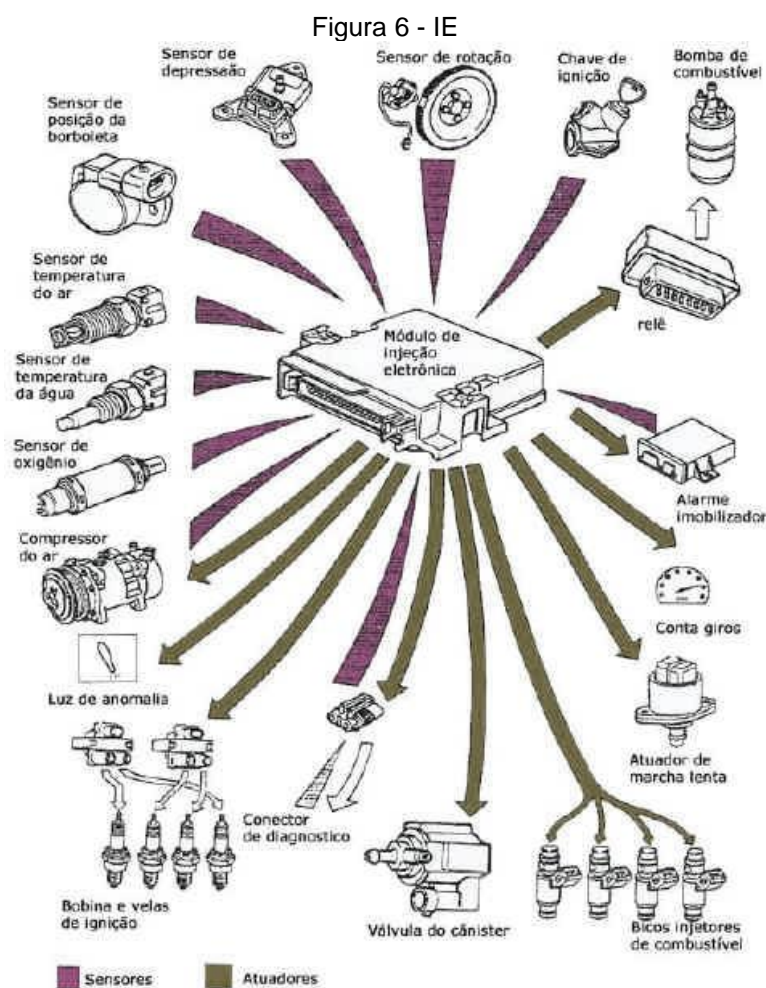


Fonte: <https://megaarquivo.wordpress.com> (2019)

### 2.3.2. Eletrônica

Assim como na injeção mecânica, a IE controla quantidade de combustível de acordo com a quantidade de ar admitido e/ou a depressão do coletor de admissão, depressão esta que determina a carga do motor.

Diferentemente do carburador, onde a alimentação é feita através do arrasto do combustível devido ao fluxo de ar, a IE mede, por meio de sensores, o fluxo de ar admitido e dosa uma quantidade de massa de combustível equivalente a essa massa de ar, como mostrado no esquemático da figura 6.



Fonte: <http://blogdispemec.rdstation.com.br> (2019)

Da mesma maneira, a depressão no coletor é medida por um sensor de pressão instalado no coletor de admissão. A principal vantagem do uso do sensor de pressão na IE em relação ao sistema mecânico, é o fato de que através do sensor de pressão, a IE ajusta automaticamente a quantidade de combustível de acordo com a altitude que interfere diretamente na proporção da mistura. No carburador, essa alteração teria que ser feita por um profissional manualmente.

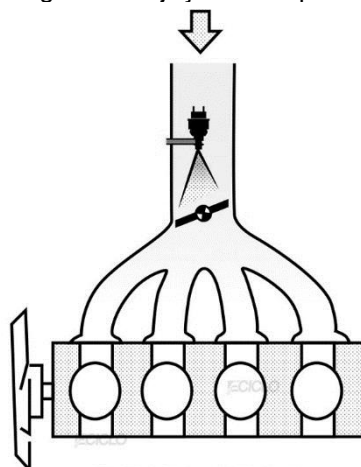
Por último, mas não menos importante, o sensoriamento da rotação do motor. Este dado é o mais importante para o funcionamento do motor, tendo em mente que

sem ele, não seria possível sincronizar o tempo de injeção e nem mesmo o avanço de ignição.

### 2.3.2.1. Injeção monoponto

Este conceito de injeção é bem parecido com o carburador, tanto na aparência como na posição em que se injeta o combustível. Basicamente o antigo sistema de arrasto foi substituído por um eletro injetor, sendo assim o combustível é pulverizado ao fluxo de ar no mesmo ponto como visto na figura 7. Neste sistema, após o combustível ser misturado ao ar admitido, o que determina o cilindro de destino da mistura ar combustível é a depressão gerada com a abertura da válvula de admissão do respectivo cilindro, que está em fase de admissão. (CAPELLI, 2010 p. 264)

Figura 7 - Injeção Monoponto



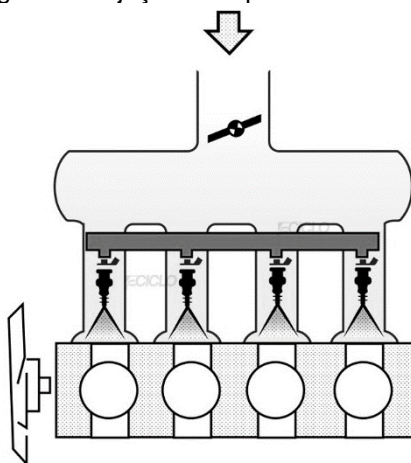
Fonte: Adaptada de <http://blog.ciclo.eng.br/> (2019)

### 2.3.2.2. Injeção multiponto simultânea

Precursor do sistema multiponto, este tipo de IE é bem simples, onde a diferença em relação ao monoponto é a quantidade e disposição das eletroválvulas injetoras de combustível. São instaladas uma eletroválvula de injeção por cilindro, onde cada uma destas está próxima e direcionada para a válvula de admissão do respectivo cilindro. Ao ser acionado, o eletro injetor de combustível pulveriza o combustível na válvula de admissão, evitando assim que o combustível condense nas paredes do coletor de admissão. (BRUNETTI, 2012 p. 468)

De acordo com a figura 8, todas as eletroválvulas injetoras são acionadas simultaneamente, e a cada volta do motor é injetada metade da quantidade ideal de combustível e ao fim de duas voltas cada cilindro terá a quantidade exata de combustível no duto de entrada da admissão. Um ponto negativo é que a maior parte das injeções são feitas com a válvula de admissão fechada fazendo com que parte da mistura condense na válvula e também no duto de admissão do cabeçote. (BRUNETTI, 2012 p. 468)

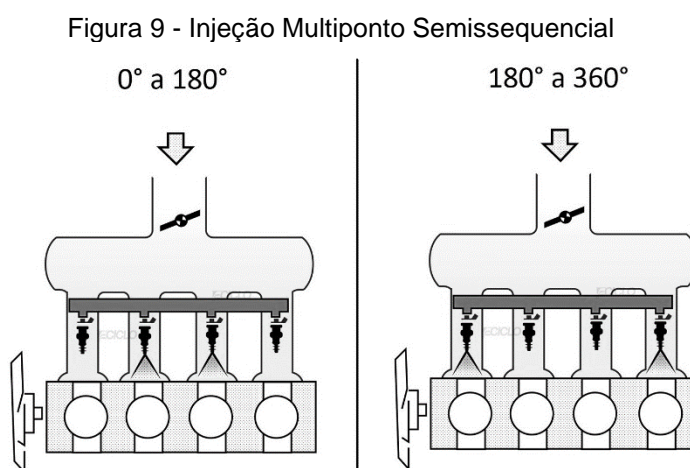
Figura 8 - Injeção Multiponto Simultânea



Fonte: Adaptado de <http://blog.ciclo.eng.br> (2019)

### 2.3.2.3. Injeção multiponto semissequencial

O sistema semissequencial, também conhecido como banco a banco, se assemelha ao sistema de IE simultâneo, com duas injeções de combustível para formar a mistura completa. Contudo, este sistema faz uma discretização nas injeções acionando pares de injetores, os cilindros gêmeos 1-4 e 2-3, sequência está ilustrada na figura 9.

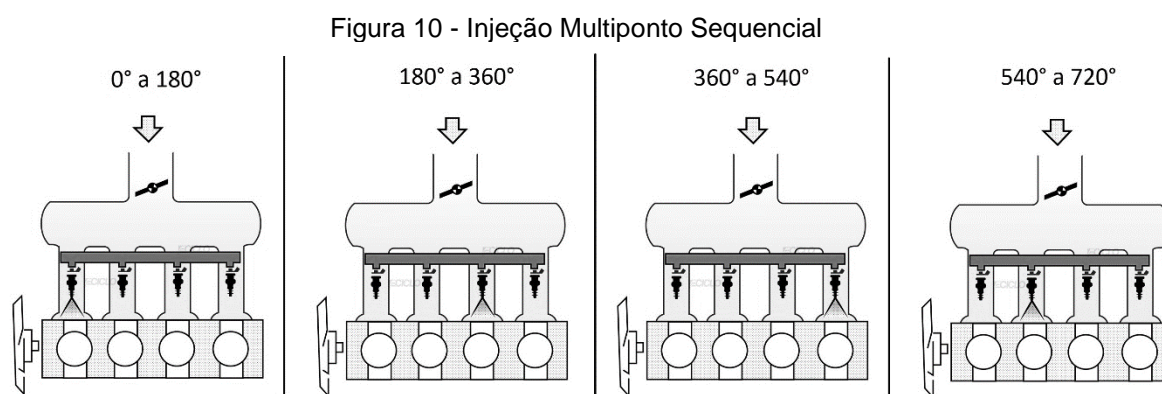


Fonte: Adaptado de <http://blog.ciclo.eng.br> (2019)

As eletroválvulas injetoras sempre são acionadas nas fases de expansão e admissão, otimizando assim a injeção que metade das vezes é feita com a válvula de admissão aberta reduzindo a condensação do combustível nas paredes dos dutos de admissão do cabeçote. É importante ressaltar que para este tipo de estratégia de injeção é necessário que a central eletrônica conheça o PMI de todos os cilindros. (GLEHN, 2001 p. 85)

### 2.3.2.4. Injeção multiponto sequencial

Devido ao avanço tecnológico e principalmente as exigências ambientais para um índice de emissões cada vez menor, a injeção de combustível evoluiu para uma estratégia sequencial onde as válvulas injetoras passaram a ser acionadas independentemente umas das outras, de acordo com a figura 10, aumentando assim a eficiência, o desempenho e o consumo. Nesta estratégia os injetores trabalham somente quando a válvula de admissão está aberta, evitando assim a condensação no duto de admissão do cabeçote.



Fonte: Adaptado de <http://blog.ciclo.eng.br> (2019)

Para garantir um perfeito sincronismo na injeção de combustível e também no avanço da ignição é necessário que a central eletrônica conheça a fase em que os quatro cilindros se encontram, para isso se faz o uso de um sensor de fase instalado no comando de válvulas, que aliado ao sinal de rotação permite determinar cada fase dos quatro cilindros.

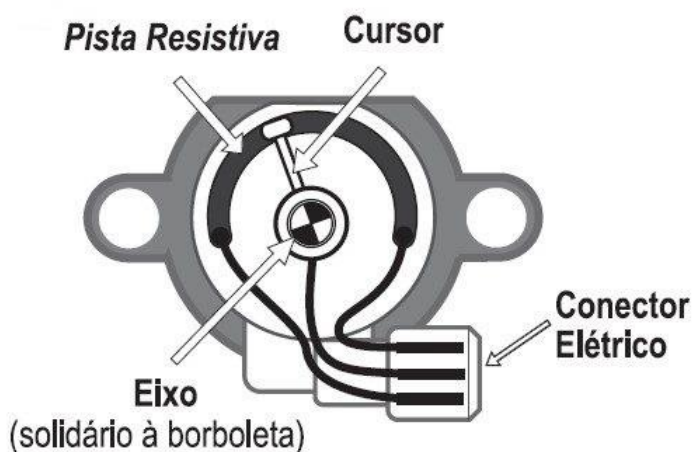
### 2.3.3. Sensores

Para que a central eletrônica realize uma dosagem perfeita de ar combustível, por exemplo, é necessário que esta tenha informações da massa de ar admitida para definir assim a massa de combustível necessária. Também são necessárias mais informações para definir a relação ar combustível para cada regime de trabalho, como rotação do motor, pressão no coletor de admissão, temperatura do motor, entre outros. Para cada uma dessas informações existe um sensor responsável por converter as grandezas físicas em sinais eletrônicos que serão disponibilizados para a central eletrônica, que serão utilizados para interpretar a condição de operação e então, controlar os atuadores para um perfeito sincronismo.

### 2.3.3.1. Sensor de posição da válvula borboleta

Nos sistemas de IE a válvula de aceleração, também conhecida como válvula borboleta, se encontra o corpo de borboleta. O eixo da válvula de aceleração é acoplado o sensor de posição resistivo da válvula borboleta, cujo funcionamento é similar a um potenciômetro, cujo cursor é solidário ao eixo da válvula borboleta que ao abrir ou fechar varia a sua resistência, conforme ilustrado na figura 11. Esta informação de abertura da válvula de borboleta é importante para determinar o avanço de ignição e controlar a relação ar combustível. (MANAVELLA, 2003)

Figura 11 - Sensor de Posição da Válvula Borboleta

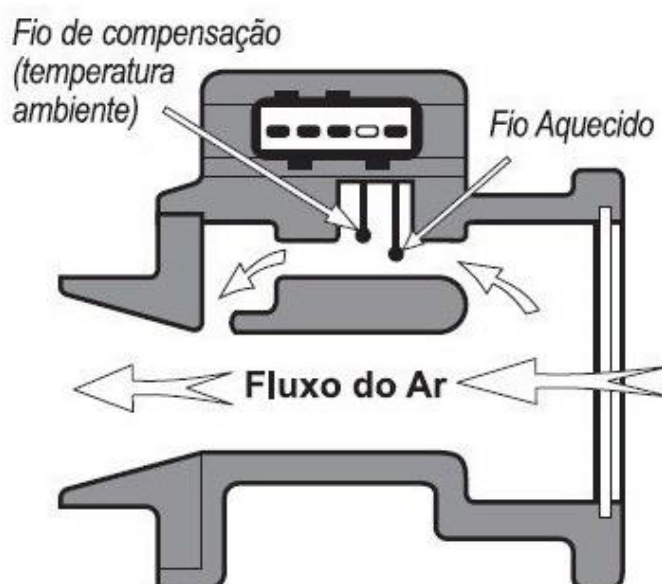


Fonte: Adaptado de <https://cursosonline.mte-thomson.com.br> (2019)

### 2.3.3.2. Sensor de massa de ar

Também conhecido como debímetro, este sensor é uma resistência que aquece uma membrana a uma determinada temperatura. O fluxo de ar troca calor ao passar por entre a membrana, que para manter a temperatura específica de trabalho demanda uma maior corrente na resistência de aquecimento, como se vê na figura 12. Esta corrente é medida por uma ponte de *Wheatstone* e é proporcional a massa de ar que flui no sensor em questão. O sensor mede a massa de ar e não o volume, eliminando os problemas de temperatura do ar, altitude e a pressão atmosférica. (CAPELLI, 2010 p. 281)

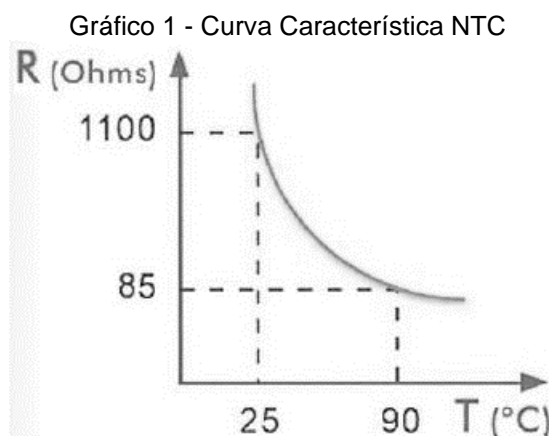
Figura 12 - Sensor de Massa de Ar



Fonte: Adaptado de <https://cursosonline.mte-thomson.com.br> (2019)

### 2.3.3.3. Sensor de temperatura de ar

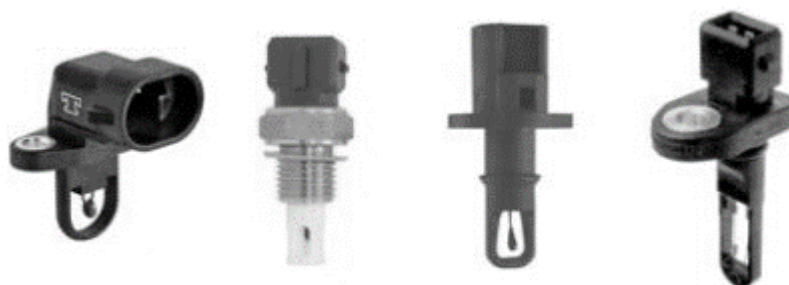
Este sensor é constituído de um termistor com coeficiente de temperatura negativo ou *Negative Temperature Coefficient* (NTC), representado no gráfico 1, e é montado no coletor de admissão ou no corpo de borboleta.



Fonte: Adaptado de <https://cursosonline.mte-thomson.com.br> (2019)

Este termistor possui alta resistência em baixas temperaturas e à medida que a temperatura aumenta a resistência diminui. Com a informação da temperatura do ar admitido e a da pressão no coletor de admissão a central eletrônica calcula a densidade a massa do ar admitido. Na figura 13, é possível verificar os diferentes tipos de sensores de temperaturas com distintos meios de instalação. (CAPELLI, 2010 p. 282)

Figura 13 - Sensores de Temperatura de Ar

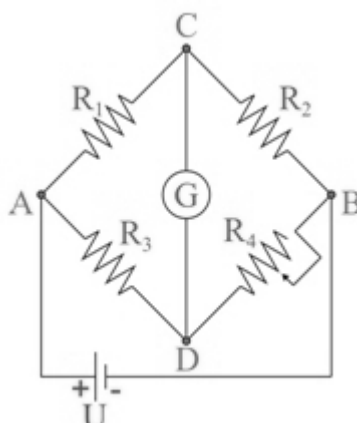


Fonte: Adaptado de Catálogo MTE-Thompson (2018)

### 2.3.3.4. Sensor de pressão absoluta

Composto por um diafragma de cerâmica com propriedades piezo resistivas, que de acordo com a deformação da membrana apresenta uma variação de resistência. A resistência é ligada a uma ponte de *Wheatstone*, representada pelo circuito da figura 14. (MANAVELLA, 2003)

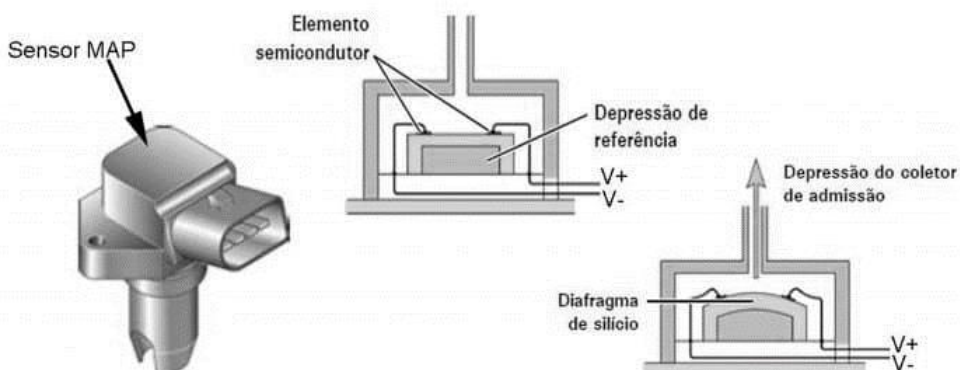
Figura 14 - Ponte de Wheatstone



Fonte: <https://www.infoescola.com> (2019)

Assim que o condutor liga chave de ignição, o sensor mede a pressão atmosférica do local em que o veículo se encontra, pressão essa que varia de acordo com a altitude. Já com o motor em funcionamento, o sensor mede a depressão do coletor de admissão, como mostra a ilustração da figura 15, determinando assim a carga do motor. (MANAVELLA, 2003)

Figura 15 - Sensor de Pressão Absoluta

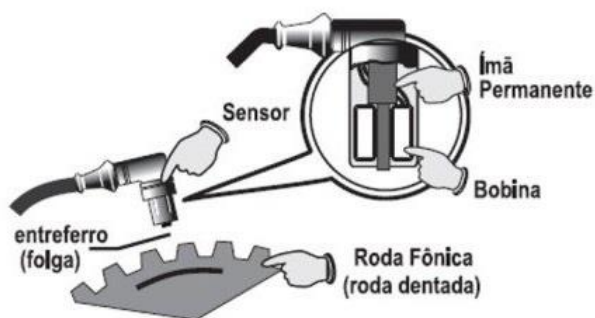


Fonte: Adaptado de Alcântara Dias, 2015

### 2.3.3.5. Sensor de rotação

Através do princípio de relutância magnética, este sensor é composto por um núcleo polar, ímã permanente, enrolado por um fio condutor isolado. O campo magnético do ímã permeia tanto o enrolamento ao redor do ímã quanto a roda dentada metálica instalada no virabrequim. Quando o campo magnético do sensor está próximo a um dente da roda dentada o fluxo magnético é máximo. Já ao se aproximar da ausência do dente, o fluxo magnético é mínimo. Na figura 16 observa-se a instalação do sensor próximo a roda fônica (GLEHN, 2001 p. 25)

Figura 16 – Sensor de Rotação



Fonte: Adaptado de <https://cursosonline.mte-thomson.com.br> (2019)

A variação de campo magnético causada pela rotação da roda dentada, ora no dente ora na ausência do dente, provoca uma força eletromotriz no enrolamento do sensor. Quanto maior a rotação maior a tensão induzida, desta forma, é de suma importância o ajuste ideal da distância entre o sensor e o dente da roda dentada. (GLEHN, 2001 p. 25)

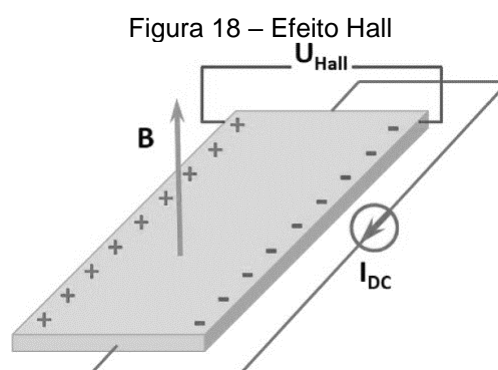
### 2.3.3.6. Sensor de fase

Este sensor tem a função de identificar qual fase cada cilindro se encontra, como ilustra a figura 17, permitindo assim que a central eletrônica tenha o exato momento de injeção e ignição nos cilindros, tornando assim possível tanto a injeção quanto a ignição independente e sequencial.



Fonte: Adaptado de <https://product.tdk.com> (2019)

Através do princípio Hall de funcionamento, composto por uma placa semicondutora por onde passa uma corrente e atravessada por um campo magnético perpendicular à respectiva corrente. Devido ao campo magnético, é gerado uma diferença de potencial nas extremidades da placa chamada tensão Hall, ilustrada na figura 18.

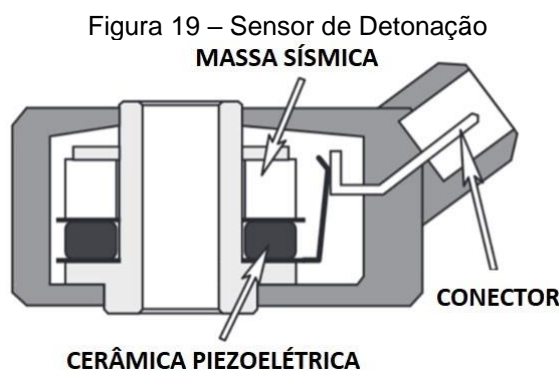


Fonte: Adaptado de <https://www.osapublishing.org> (2019)

Esta tensão varia com a aproximação de um material ferromagnético junto ao sensor. A frequência do sinal gerado no sensor aumenta de acordo com o aumento da rotação do motor. (CAPELLI, 2010 p. 280)

### 2.3.3.7. Sensor de detonação

O sensor de detonação tem por função identificar se houve o fenômeno da detonação, que nada mais é que uma combustão indesejada da mistura causada pelo aumento da pressão no cilindro e ocorre antes mesmo da ignição. O principal fator deste fenômeno é o combustível adulterado e ou de má qualidade. Instalado na parede externa do bloco do motor próximo aos cilindros para uma melhor leitura das vibrações providas da detonação. O material piezoelétrico composto no sensor visto na figura 19, gera uma tensão proporcional a deformação mecânica sofrida por este. (GLEHN, 2001 p. 56)



Fonte: Adaptado de <http://www.micro-tronik.com> (2019)

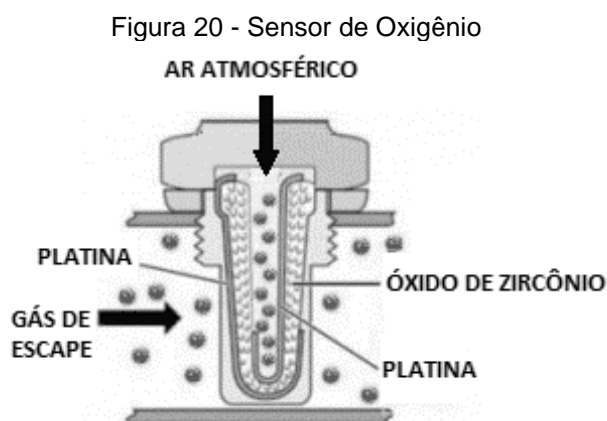
Com o sinal gerado pelo sensor a central eletrônica é capaz de identificar a detonação, com frequências da ordem de 5Khz a 15Khz, e então atrasar o avanço do ponto de ignição, renunciando à ignição no momento exato para ter o controle da combustão. Para garantir que não haja uma leitura de ruídos provenientes de outras vibrações no motor, a aquisição do sinal do sensor é feita em janelas de tempos determinadas. Sem o auxílio do sensor de detonação, além da perda de rendimento ocorre também dano nos componentes do motor. (GLEHN, 2001 p. 56)

### 2.3.3.8. Sensor de oxigênio

O sensor de oxigênio está localizado no coletor de escape ou no escapamento e indica a estequiometria imediata da combustão, seja ela rica, estequiométrica ou pobre.

O funcionamento é similar ao de uma pilha que gera uma corrente através da troca de elétrons de um material para outro. Neste caso o que determina a corrente elétrica é a concentração de oxigênio nos gases de escape. Formado por um substrato

cerâmico de zircônio, um eletrólito sólido em temperaturas acima de 300°C, e coberta por dois eletrodos porosos de platina. O eletrodo externo do sensor está em contato com os gases do escape e o eletrodo interno com o ar atmosférico usado como referência, como mostra a figura 20. (MANAVELLA, 2003)



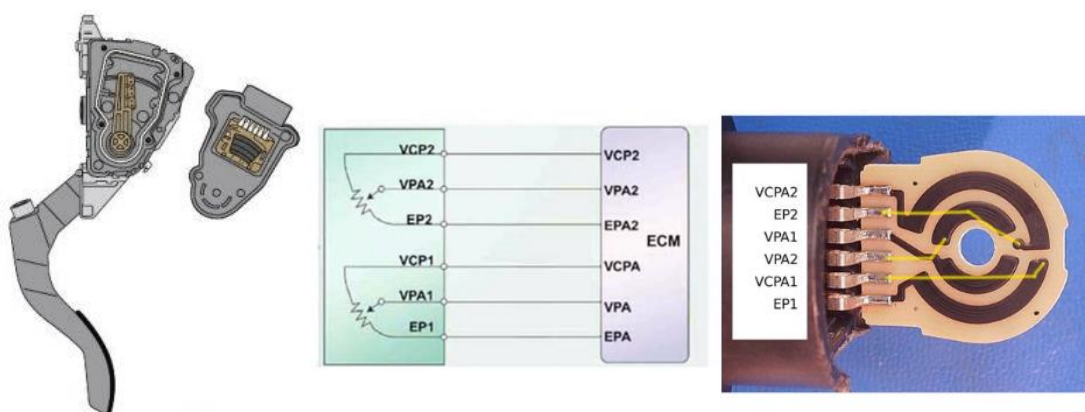
Fonte: Adaptado de Alcântara Dias, 2015

Quando o zircônio está acima de 300°C, quanto maior a diferença de concentração de oxigênio entre os eletrodos do sensor, maior a corrente de elétrons e conseqüentemente maior a tensão gerada. Como a concentração do eletrodo de referência é consideravelmente maior, o eletrodo exposto ao gás de escape tem um potencial elétrico positivo. Quando a mistura é rica a tensão gerada é de aproximadamente 800mV, já em uma mistura pobre a tensão é de aproximadamente 100 mV. (MANAVELLA, 2003)

### 2.3.3.9. Acelerador eletrônico

O pedal do acelerador possui dois potenciômetros. Na figura 21 é possível verificar sua vista explodida, sendo que a tensão de saída do segundo é sempre metade da tensão de saída do primeiro potenciômetro, essa redundância aumenta a confiabilidade e precisão do sistema.

Figura 21 – a) Pedal Acelerador b) Detalhe construtivo do potenciômetro



Fonte: a) <https://www.troublecodes.net> (2019) b) *Technical Support to the National Highway Traffic Safety Administration* (2020)

Com o sinal do pedal eletrônico e mais informações obtidas pelos demais sensores instalados no motor a central eletrônica controla o servo motor de abertura da válvula borboleta para atender à solicitação do motorista.

### 2.3.4. Atuadores

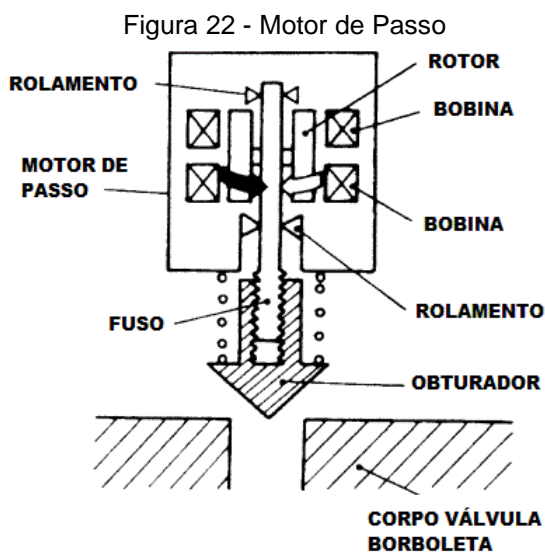
Nos sistemas de IE foram adotados atuadores com a finalidade de obter um controle mais preciso do sincronismo do motor em seus diversos modos e condições de operação.

#### 2.3.4.1. Atuador de marcha lenta

A fim de garantir o funcionamento do motor em perfeito sincronismo em marcha lenta, utiliza-se motores elétricos com a finalidade de controlar o fluxo de ar admitido.

### 2.3.4.1.1. Motor de passo

O motor de passo é composto por duas bobinas, onde dois terminais controlam a abertura e outros dois o fechamento da passagem do fluxo de ar. Esse motor é de corrente contínua em que cada pulso corresponde a um passo equivalente a um ângulo específico do eixo, que ao girar aumenta ou diminui a passagem do fluxo de ar como ilustrado na figura 22. (MANAVELLA, 2003)



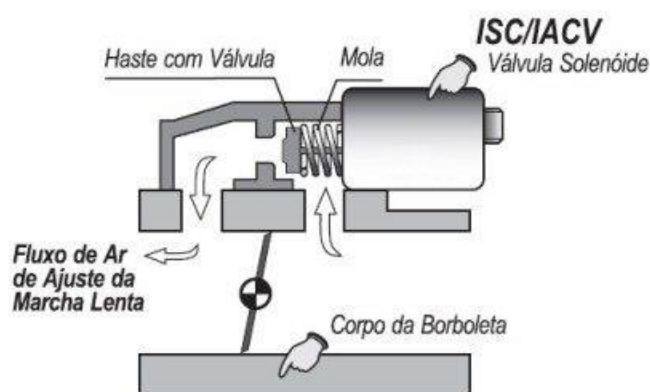
Fonte: Adaptado de <https://www.autozone.com> (2019)

A central eletrônica envia pulsos ao atuador de marcha lenta de acordo com a necessidade, para manter o motor estável em rotação de marcha lenta. (MANAVELLA, 2003)

### 2.3.4.1.2. Válvula solenoide

Montada no corpo de borboleta, esta válvula controla o fluxo de ar através da modulação por frequência do sinal de acionamento da bobina da mesma, que varia o posicionamento de abertura do embolo de 0% a 100% de acordo com a necessidade, como mostra a figura 23. (MANAVELLA, 2003)

Figura 23 - Válvula Solenoide

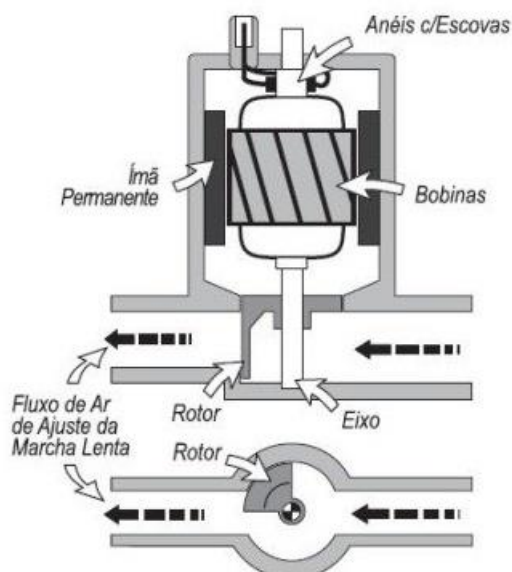


Fonte: Adaptado de <https://cursosonline.mte-thomson.com.br> (2019)

### 2.3.4.1.3. Válvula rotativa

O atuador rotativo nada mais é do que um motor de corrente contínua solidário a uma válvula (quarto de círculo) e constituído por duas bobinas e um ímã permanente, de acordo com a figura 24. (MANAVELLA, 2003)

Figura 24 - Válvula Rotativa



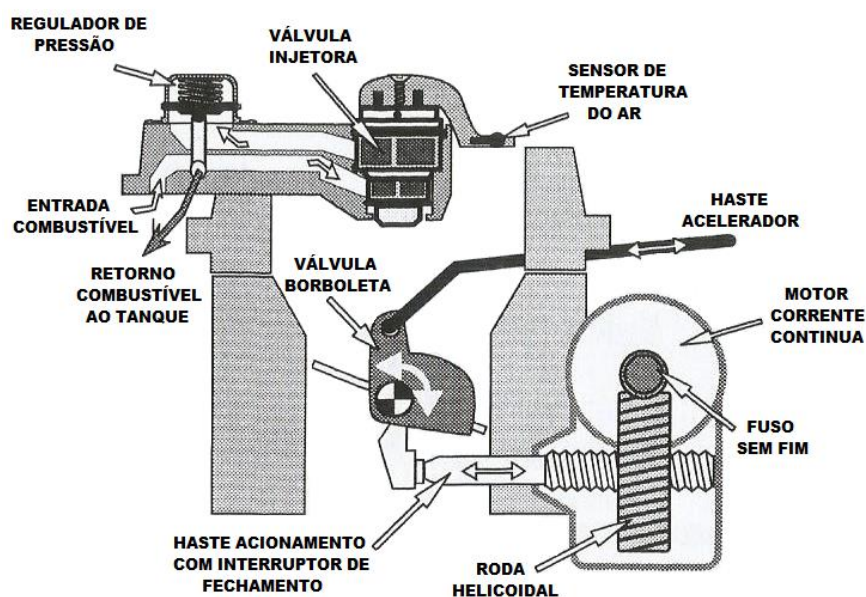
Fonte: Adaptado de <https://cursosonline.mte-thomson.com.br> (2019)

Quando energizada, as bobinas tendem a se alinhar com os ímãs permanentes do estator fazendo com que o eixo gire em torno de seu eixo que é delimitado a um ângulo de 90°. O controle da posição de abertura da válvula se dá pela modulação de pulsos alternada entre as bobinas, que devido as forças opostas dos campos eletromagnéticos que se anulam, permitem o controle exato de abertura. Existem válvulas rotativas que utilizam apenas uma bobina e o retorno da válvula é feito através de uma mola. (MANAVELLA, 2003)

#### 2.3.4.1.4. Motor de corrente contínua

Neste sistema o motor de corrente contínua tem seu eixo acoplado a um fuso sem fim que ao avançar empurra uma haste contra a válvula borboleta, como ilustra a figura 25, efetuando assim a abertura e controlando o fluxo de ar. (MANAVELLA, 2003)

Figura 25 - Atuador de Motor de Corrente Contínua



Fonte: Adaptado de (MANAVELLA, 2003)

A central eletrônica controla a abertura da válvula borboleta de 0° a 22° e identifica o total fechamento dela através de um interruptor. O controle pode ser feito tanto com acionamento contínuo quanto com pulsos, evitando assim o superaquecimento do motor. (MANAVELLA, 2003)

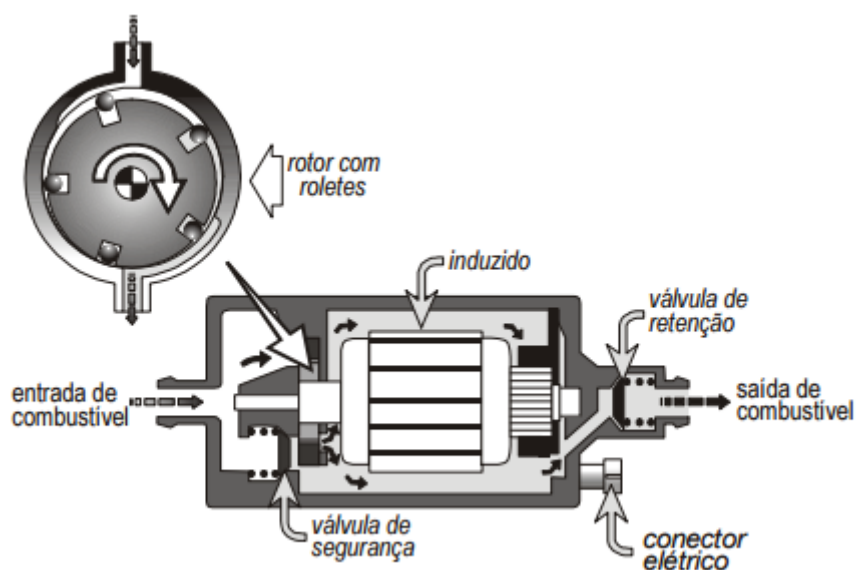
## 2.3.4.2. Bomba de combustível

Para que o combustível chegue até as válvulas injetoras com pressão ideal de trabalho, a bomba de combustível eletrônica é controlada pela central eletrônica e pode ser externa ou interna ao reservatório de combustível.

### 2.3.4.2.1. Bomba de roletes

Nesta configuração a bomba é externa ao reservatório de combustível e, o que impulsiona combustível são os roletes, que ao ser movido pelo induzido comprime o combustível contra a parede da bomba, como mostra a figura 26, fazendo com que esse atinja determinada pressão criando um fluxo que ao passar pelo induzido tem como função refrigerá-lo seguindo em direção ao filtro de combustível. (MANAVELLA, 2003)

Figura 26 - Bomba de Combustível de Roletes

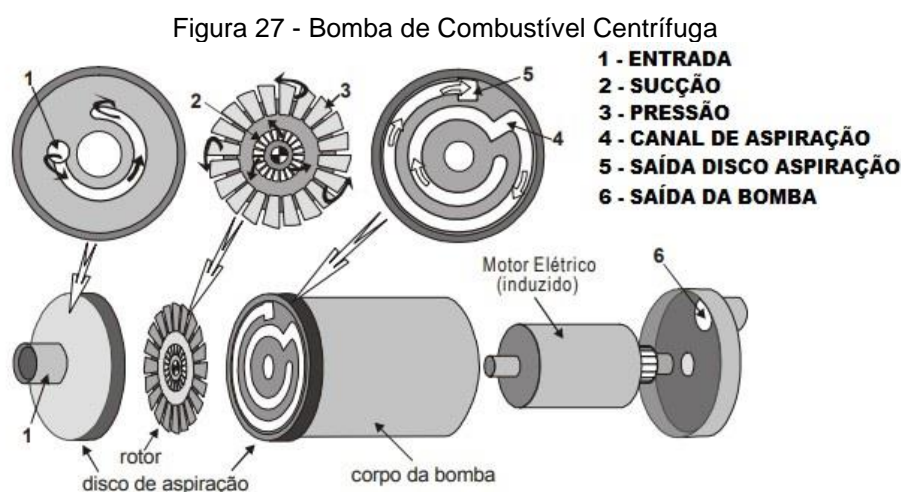


Fonte: Adaptado de <http://www.hmautotron.eng.br> (2019)

Esta bomba possui uma válvula de retenção unidirecional que faz com que o fluxo de combustível não retorne ao tanque e mantenha uma determinada pressão no circuito. Possui ainda uma válvula de proteção contra alta pressão denominada válvula reguladora de pressão. (MANAVELLA, 2003)

### 2.3.4.2.2. Bomba centrífuga

Esta bomba é interna ao reservatório de combustível e comumente possui dois estágios, sendo um de sucção e outro de pressurização. O estágio de sucção fica ao centro do rotor, que possui palhetas com perfil lateral responsáveis pela sucção. Na parte externa do rotor existem palhetas com perfil periférico que pressurizam o combustível. A figura 27 ilustra uma vista explodida da bomba com suas respectivas funções. Assim como na bomba de combustível de roletes, a bomba centrífuga faz uso do próprio combustível para arrefecer o induzido do motor e ainda possui uma válvula de retenção para evitar o retorno do combustível. (MANAVELLA, 2003)



Fonte: Adaptado de <http://www.hmautotron.eng.br> (2019)

### 2.3.4.3. Válvulas injetoras de combustível

As válvulas injetoras são componentes responsáveis pela pulverização do combustível no fluxo de ar admitido. Constituem basicamente de uma válvula solenoide cujo embolo possui uma agulha, que faz com que o injetor permaneça fechado, com retorno através de uma mola. Ao ser acionada, a válvula injetora tem a bobina magnetizada fazendo com que a força do campo eletromagnético vença a força da mola e abra a agulha em aproximadamente 0,1mm. Através dessa abertura da agulha, o combustível que vem pressurizado da galeria passa por orifícios calibrados formando um *spray* em forma de cone de 30° de abertura que pode variar de acordo com a necessidade do fabricante. Os injetores possuem arruelas de borracha que têm tanto a função de amortecimento contra as altas vibrações que são

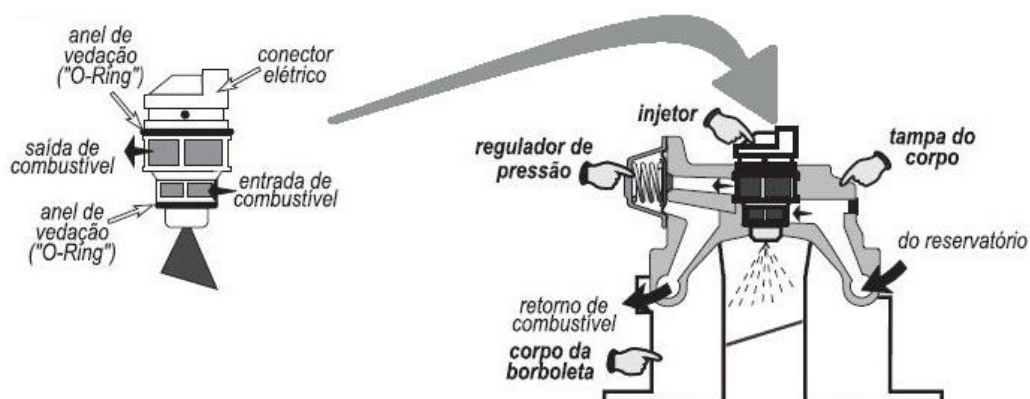
geradas no funcionamento do motor, quanto o isolamento térmico contra as altas temperaturas que podem provocar bolhas de vapor no combustível dificultando a partida a quente. (MANAVELLA, 2003)

Os injetores pode ser classificados como baixa resistência, com valores de 1,5 ohms a 3,5 ohms onde o tempo de carregamento é mais rápido reduzindo o tempo de abertura, e alta resistência, com valores de  $12\Omega$  a  $20\Omega$  . (MANAVELLA, 2003)

### 2.3.4.3.1. Injetores *bottom feed*

Normalmente usadas nos sistemas monoponto, este tipo de válvula injetora tem sua alimentação feita através de janelas que ficam localizadas nas laterais inferiores do injetor, como ilustrado na figura 28. (MANAVELLA, 2003)

Figura 28 - Injetor *Bottom Feed*



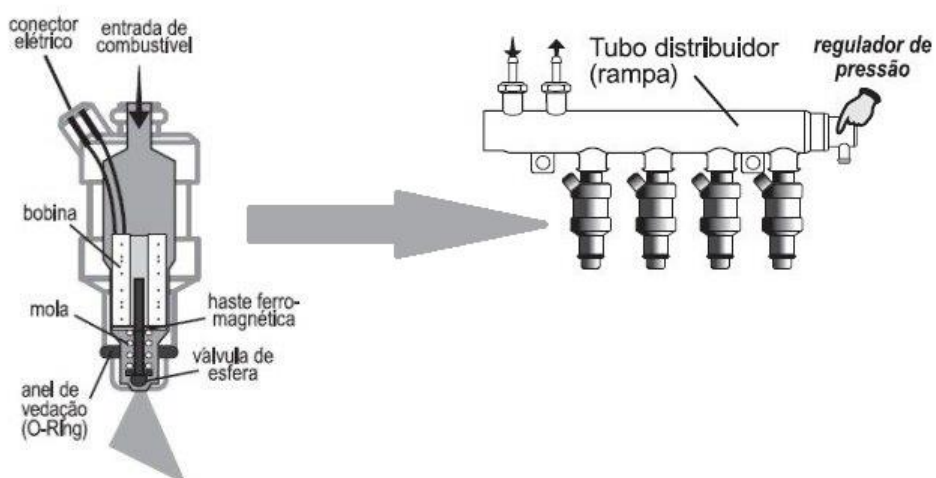
Fonte: Adaptado de <https://cursosonline.mte-thomson.com.br> (2019)

O fluxo de combustível sai por janelas nas laterais superiores do injetor até chegar a uma válvula reguladora de pressão. (MANAVELLA, 2003)

### 2.3.4.3.2. Injetores alimentação superior

O mais convencional a ser usado, esta válvula injetora é utilizada nos veículos multiponto em geral, onde os injetores são instalados entre o coletor de admissão e o tudo de distribuidor onde também fica instalada a válvula reguladora de pressão de combustível, como mostra a figura 29. (MANAVELLA, 2003)

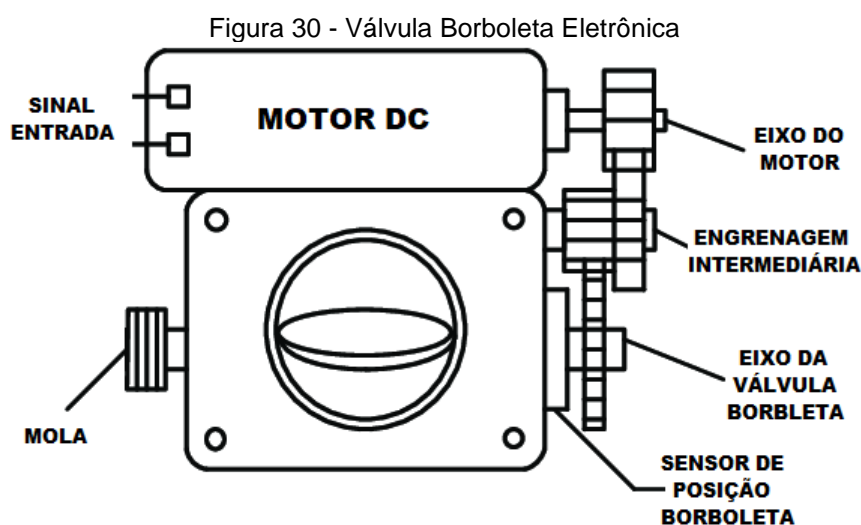
Figura 29 - Injetor Alimentação Superior



Fonte: Adaptado de <https://cursosonline.mte-thomson.com.br> (2019)

#### 2.3.4.4. Válvula borboleta eletrônica

Esta válvula eletrônica que junto ao pedal de acelerador eletrônico substitui completamente o sistema de acionamento por cabos. Sua função é regular o fluxo de ar admitido pelo motor através de um motor elétrico, que tem seu eixo acoplado a válvula borboleta e o retorno feito por uma mola, como visto na figura 30, que é controlado por um sinal modulado. (DELPHI, 2003)



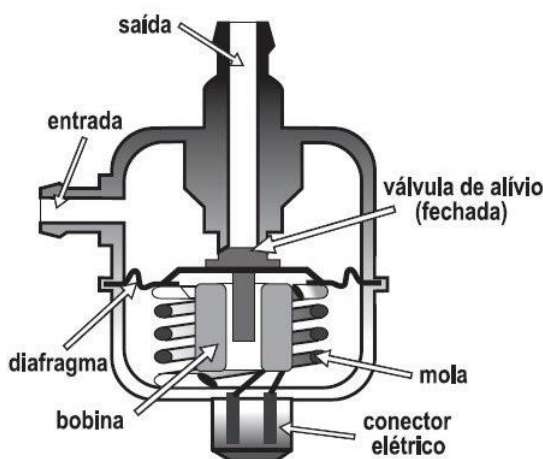
Fonte: Adaptada de <https://www.researchgate.net> (2019)

De acordo com a posição que se encontra o pedal do acelerador e outros parâmetros, a central eletrônica faz o controle necessário para abrir ou fechar a válvula. A válvula eletrônica elimina o uso de atuadores de marcha lenta e sistemas auxiliares de aceleração, já que esse controle agora é feito por meio da válvula de borboleta eletrônica. A eficiência da válvula borboleta eletrônica se dá devido ao fato de os motores trabalharem em regimes transitórios de trabalho, já na válvula borboleta mecânica não é possível fazer o controle de abertura e fechamento em transições rápidas como nas válvulas eletrônicas. (DELPHI, 2003)

### 2.3.4.5. Válvula canister

Para evitar que os gases provindos da evaporação do combustível do reservatório entre em contato com a atmosfera, se deu o sistema de controle evaporativo de combustível. O principal responsável por esse controle, além do filtro de carvão ativado que armazena os gases, é a válvula de purga do *canister*, uma válvula solenoide que controla o fluxo dos gases, ilustrada na figura 31, vindos do carvão ativado em direção ao coletor de admissão, devido a depressão gerada pelo embolo. (MANAVELLA, 2003)

Figura 31 - Válvula Canister



Fonte: Adaptado de <https://cursosonline.mte-thomson.com.br> (2019)

O acionamento da válvula *canister* pode ser feito por sinal contínuo ou através de sinal pulsado que regulam a abertura de 0% a 100% controlando o fluxo dos gases de acordo com o regime do motor. (MANAVELLA, 2003)

### 2.3.4.6. Bobina de ignição

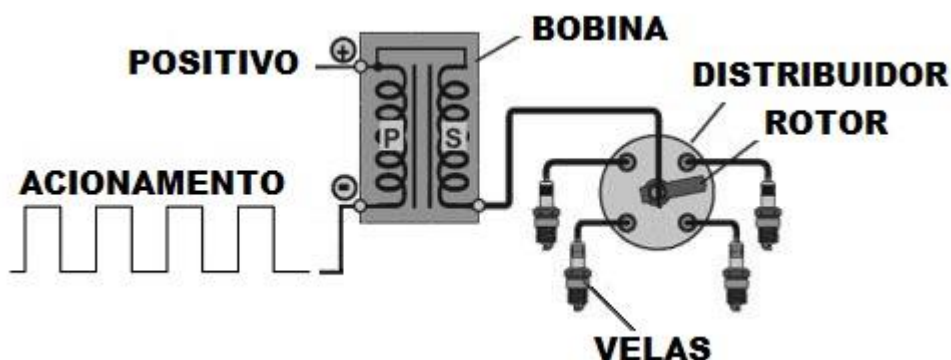
A bobina de ignição transforma a baixa tensão da bateria em alta tensão em um determinado instante por um determinado tempo, a fim de romper o dielétrico existente entre a abertura dos eletrodos da vela de ignição, gerando uma centelha que é imprescindível para a combustão do motor de ciclo Otto. A conversão de baixa para alta tensão é feita pelo acionamento do enrolamento primário da bobina por um tempo específico, que varia de acordo com as características da aplicação. Ao fim da carga da bobina, com o desligamento do terminal do primário da bobina, há um colapso do campo magnético que transfere a energia armazenada do enrolamento primário para o secundário que multiplica a tensão proporcionalmente a quantidade de espiras do

enrolamento secundário. A tensão se eleva até ser suficiente para romper o dielétrico dos eletrodos da vela de ignição. (DELPHI, 2005)

### 2.3.4.6.1. Chaveamento de alta tensão

Uma única bobina é responsável pela centelha em todos os cilindros do motor, realizando a distribuição através do chaveamento de alta tensão que é realizado pelo rotor, que fecha o contato com o plugue da tampa do distribuidor que corresponde a um determinado cilindro de destino da centelha, como na ilustração da figura 32. O acionamento da bobina pode ser feito por meio de platinado ou transistores. (DELPHI, 2005)

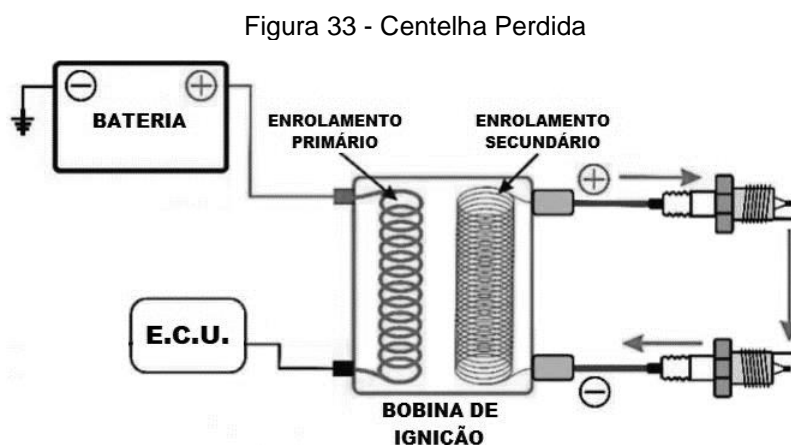
Figura 32 - Chaveamento de Alta Tensão



Fonte: Adaptado de <https://cursosonline.mte-thomson.com.br> (2019)

### 2.3.4.6.2. Centelha perdida

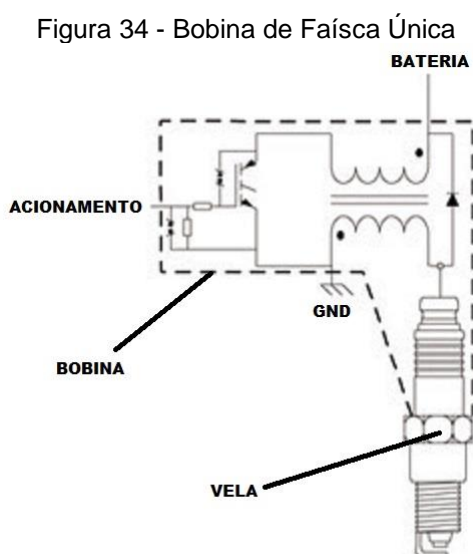
Neste sistema cada extremidade do enrolamento secundário da bobina é ligado a uma vela de ignição do cilindro gêmeo, assim, quando a bobina transforma a baixa tensão em alta existe a quebra do dielétrico em dois cilindros simultaneamente, um está em fase de compressão e o outro em fase de escape, como se vê na ilustração da figura 33, originando o nome centelha perdida já que na fase de escape não haverá nenhum ganho de energia no motor. O dielétrico do cilindro em fase de escape é bem menor do que o cilindro que está na fase de compressão. A vantagem de se usar o recurso de centelha perdida é o fato de que a central não precisa saber qual cilindro ocorrerá a combustão, apenas carrega a bobina correspondente ao cilindro gêmeo. (DELPHI, 2005)



Fonte: Adaptado de <https://www.hondashadow.net> (2019)

### 2.3.4.6.3. Bobina de faísca única

Este sistema equipa uma bobina por cilindro ligada diretamente sobre a vela, ilustrado na figura 34, possibilitando que o motor trabalhe em altas rotações já que cada bobina tem um período de  $720^\circ$  da árvore de manivelas entre cada acionamento. Esta bobina consegue fornecer até três vezes mais energia garantindo uma combustão mais eficiente com o mesmo consumo de energia. (DELPHI, 2005)



Fonte: Adaptado de <http://ttec-4848sensorsbytung.blogspot.com> (2019)

### 2.3.4.7. Linguagens de programação

Dado a necessidade de integração do *hardware* (conjunto de sensores e atuadores) com o *software*, o *software* sendo responsável por orquestrar o funcionamento do MCI. Dado o conjunto de tarefas que devem ser desempenhadas, o nível de complexidade do programa está diretamente ligado a arquitetura do computador a ser programado e a tarefa a ser executado pelo programa. (NAHAS, et al., 2012)

Para programar qualquer sistema é necessário o uso de uma linguagem de programação. Esta linguagem é o meio de comunicação entre o homem e a máquina, sendo que o programa criado pelo homem deve ser interpretado e executado pela máquina. (NAHAS, et al., 2012)

Existem inúmeras maneiras de definir linguagem de programação, algumas delas são:

- Linguagem usada para preparar programas de computador, *American Standard Vocabulary for Information Processing* (ASVIP, 1970);
- Linguagem artificial para expressar programas, (ISO,2001);
- Notação auto consistente para a descrição precisa de programas de computador, (Wizzit, 2001).

Segundo (Sammit, 2009) as definições no geral seguem o mesmo padrão, pois, não refletem o uso do idioma, não requer o conhecimento do código de máquina pelo programador, devem ser independente da máquina e cada instrução de um programa escrito em determinada linguagem ao ser convertido em código de máquina gera um conjunto de instrução de máquina. (NAHAS, et al., 2012)

#### **2.3.4.7.1. Classificação das linguagens de programação**

As linguagens de programação podem ser divididas em paradigmas de programação e então ser classificadas de acordo com o domínio utilizado, isto porque uma linguagem pode conter mais de um paradigma. (NAHAS, et al., 2012) A programação pode ser:

- Processual: este paradigma é baseado na decomposição do programa em um conjunto de procedimentos;
- Orientado a objetos: neste paradigma o programa é organizado em conjunto de dados, também conhecidos como objetos, que interagem entre si. A programação orientada a objeto começou a ser mais utilizada do início da década de 1990 e ainda hoje é um dos principais paradigmas utilizados.
- Funcional: utilizando funções matemáticas para processar os dados, no programa uma função pode tomar uma segunda função como parâmetro e o resultado ainda ser uma função.
- Lógica: assim como sugere o nome, esse paradigma utiliza a lógica matemática como processamento.

Saber o objetivo do uso da linguagem é importante, pois dificilmente uma única linguagem atenderá toda as áreas de programação. (NAHAS, et al., 2012) (NAHAS, et al., 2012) Desta forma, as linguagens dividem-se ainda de acordo com sua finalidade que são:

- Linguagem de programação de uso geral: pode ser amplamente empregada em diversas áreas da programação em uma infinidade de aplicações.
- Linguagem de programação de sistemas: utilizada exclusivamente para desenvolvimento de *softwares* presente nos *hardwares* de computadores e eletrônicos em geral. A linguagem *Assembly* é a mais conhecida.
- Linguagem de programação de *script*: este tipo de linguagem é aplicado em situações em que não há compilação, ou seja, os comandos são interpretados e imediatamente executados, como nas páginas da *internet*.
- Linguagem de programação de domínio específico: destinadas para fins exclusivos, ou seja, não servem para áreas que não sejam especificadas. O *Csound*, por exemplo, só serve para tratamento de áudio.
- Linguagem de programação concorrente: utilizados para desenvolvimento de programas que executam tarefas simultaneamente de um mesmo programa ou de programas diferentes.

### 2.3.4.7.2. História das linguagens de programação

Assim como em qualquer área do conhecimento, na linguagem de programação não é diferente, onde o estudo da história e conceitos da programação evita erros que já fora cometido anteriormente por desenvolvedores. De acordo com (Pont, 2003), a evolução da linguagem de programação pode ser classificada em gerações com mostra a tabela 1. (NAHAS, et al., 2012)

Tabela 1 - Gerações das linguagens de programação

<b>Geração da linguagem</b>	<b>Exemplo de linguagem</b>
Primeira geração	Código de máquina <i>Assembly</i>
Segunda geração	COBOL, FORTRAN
Terceira geração - Orientada ao processo	C, Pascal
Quarta geração - Orientada a objeto	C++, Java

Fonte: (NAHAS, et al., 2012)

Com a invenção do computador na década de 1940 até o início da década de 1950, os desenvolvedores utilizavam apenas o código de máquina como linguagem de programação. Ainda no início desta década, a linguagem *Assembly* foi desenvolvida e substituiu o código de máquina. Apesar de ser menos complexa do que o código de máquina, a linguagem *Assembly* ainda requeria um alto nível de

conhecimento e era propensa a erros o que levou a sua rápida substituição. (NAHAS, et al., 2012)

Ao longo da década de 1950, surgiram diversas linguagens de programação de alto nível amplamente utilizadas atualmente e muitas que tiveram influência direta em boa parte das linguagens de programação atuais. Na década de 1960 surgiu a Simula, a primeira linguagem a suportar orientação a objetos. (NAHAS, et al., 2012)

Entre o final das décadas de 1960 e 1970, houve uma enorme ascensão das linguagens de programação. A linguagem C, por exemplo, uma linguagem de programação de sistemas desenvolvida entre 1969 e 1973 ainda hoje é muito empregada em programas. (NAHAS, et al., 2012)

Na década de 1980 foi desenvolvido o C++, uma linguagem combinada de sistemas operacionais. Nesta década houve um grande foco no desenvolvimento de linguagem de programação de sistemas em módulos. (NAHAS, et al., 2012)

Com a popularização da *internet* na década de 1990 veio à tona as linguagens de programação *script*, anteriormente utilizadas para outras finalidades. Essas linguagens eram basicamente versões modificadas de linguagens existentes e paradigmas baseados em linguagem C. (NAHAS, et al., 2012)

### **2.3.4.7.3. Linguagens de programação para sistemas de tempo real**

Em sistemas de tempo real existem diferentes situações que determinam a precisão de tempo na execução das tarefas do programa. O nível de gravidade de acidentes e/ou consequências causadas ao ser humano ou ao meio ambiente em geral, caso determinada tarefa tenha um erro ou atraso de frações de segundos. Num sistema de freio, por exemplo, o tempo de leitura dos sensores de rotação das rodas e o acionamento das válvulas controladoras de pressão do fluido de freio, responsáveis pelo controle de frenagem individual de cada roda, tem um determinado tempo de execução para evitar acidentes ocasionados por perda de controle do veículos por falha no sistema de freio. Já num sistema de monitoramento, em que câmeras programadas para desligar durante os fins de semanas, não teria graves consequências caso haja um atraso no desligamento do sistema em questão. (NAHAS, et al., 2012)

Devido a estas diferentes características, os sistemas de tempo real podem ser classificados em:

- Rígido: sistemas em que quando o prazo de execução de determinada tarefa não é cumprido ocorre uma falha grave no sistema. Muito utilizado em sistemas de acionamento automáticos e sistemas de emergência, onde a tarefa deve ser executada imediatamente quando solicitada ou no exato momento planejado como em aviões, usinas nucleares e marca passos.
- Firme: este sistema permite o atraso em determinadas situações, em que este atraso não gere anomalias ou falhas no sistema. Por exemplo, quando há um atraso na comunicação, onde, mesmo que esta informação seja de suma importância para o sistema o atraso não gera nenhum acidente ou falha significativa. Num sistema de vigilância, quando ocorre um erro ou atraso em um *frame* do vídeo não afeta os demais frames, somente o frame corrompido.
- Suave: neste sistema, mesmo em situações de atraso na comunicação os dados são aproveitados com nas estações meteorológicas, em que mesmo com atraso de informações de temperatura, umidade e velocidade do vento, ainda é possível realizar as previsões do clima.

Para o desenvolvimento de sistemas de tempo real são necessários ferramentas de simulação e testes que garantem uma melhor eficácia do sistema que não eram possíveis serem feitas em *Assembly*. Pensando nisto, desenvolvedores da década de 1960 decidiram desenvolver linguagens de alto nível de fácil aprendizagem, depuração, manutenção, documentação e portabilidade para programação de sistemas de tempo real. (NAHAS, et al., 2012)

Segundo Boulton e Reid (1969) os principais requisitos para o desenvolvimento de sistemas de tempo real são os métodos de tratamento de sinais, interrupções e agendamento de tarefas.

Para atender tais requisitos, era possível através de extensões e modificações das linguagens de programação já existentes. Também era possível criar linguagens específicas para o desenvolvimento de sistemas de tempo real que, ainda assim, teriam muito em comum com as linguagens conhecidas na época. (NAHAS, et al., 2012)

Na década seguinte, 1970, os desenvolvedores buscavam um meio de programação de tempo real simultânea, já que mesmo com as extensões e modificações das linguagens de uso geral não se obtinha uma boa simultaneidade. (NAHAS, et al., 2012)

Em 1983 surgiu a ADA, uma linguagem de programação de alto nível orientada a objetos utilizada pelo departamento de defesa dos Estados Unidos, ganhou destaque devido a facilidade de obtenção de segurança, confiabilidade e previsibilidade na execução do programa sendo uma das mais utilizadas. (NAHAS, et al., 2012)

#### **2.3.4.7.4. Escolha da linguagem de programação**

Para a melhor escolha da linguagem de programação para o desenvolvimento de sistemas de tempo real é preciso levar em consideração o tempo de desenvolvimento, conhecimento da linguagem em questão por parte dos programadores, as características do *hardware* utilizado e a portabilidade da linguagem em relação a tarefa a ser executada pelo programa. (NAHAS, et al., 2012)

Pont (2003) observou os seguintes fatores a serem considerados em sistemas embarcados:

- A linguagem deve ser eficiente o suficiente para suprir as restrições do *hardware*;
- Requer um acesso de baixo nível para leitura e gravação de endereços específicos da memória através do uso de ponteiros;
- Suportar criação de bibliotecas flexíveis para serem reutilizadas em projetos distintos com mínimas alterações;
- Linguagem popular facilita o aprendizado e recrutamento de programadores devido a vasta documentação disponível para consultas.

Enfim, não existe e nem será criada uma linguagem ideal para cada caso, assim, a linguagem escolhida deve ser a mais apropriada o possível.

### 3. DESENVOLVIMENTO

Neste capítulo será apresentado o desenvolvimento deste projeto, mostrando como foi realizado o desenvolvimento do *software* para o sistema de sincronismo do motor.

#### 3.1. Hardware de simulação dos sinais de sincronismo do motor

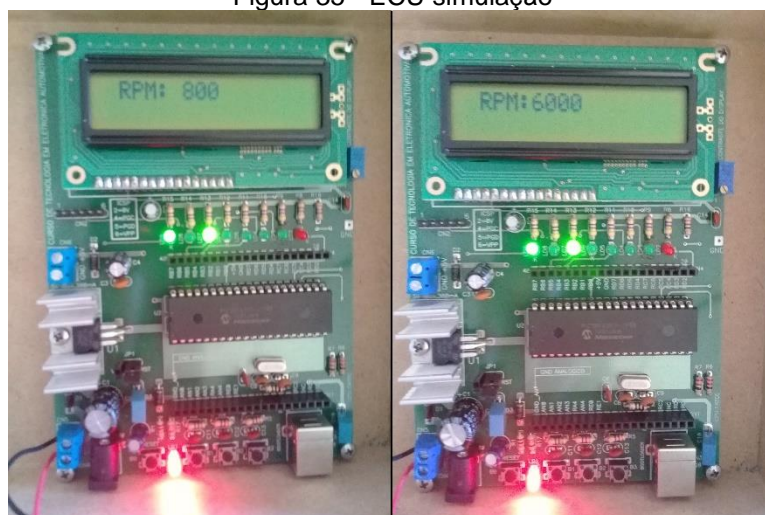
Com o intuito de gerar os sinais dos sensores de rotação e fase do MCI, foi empregado a placa de desenvolvimento FATEC e construído um *software* e dessa forma simular o funcionamento do MCI para o desenvolvimento do *software* de sincronismo do motor.

O *software* desenvolvido fornece a possibilidade de selecionar diferentes funcionalidades:

- Incremento/ decréto de valores de rotação;
- MCI em marcha lenta.

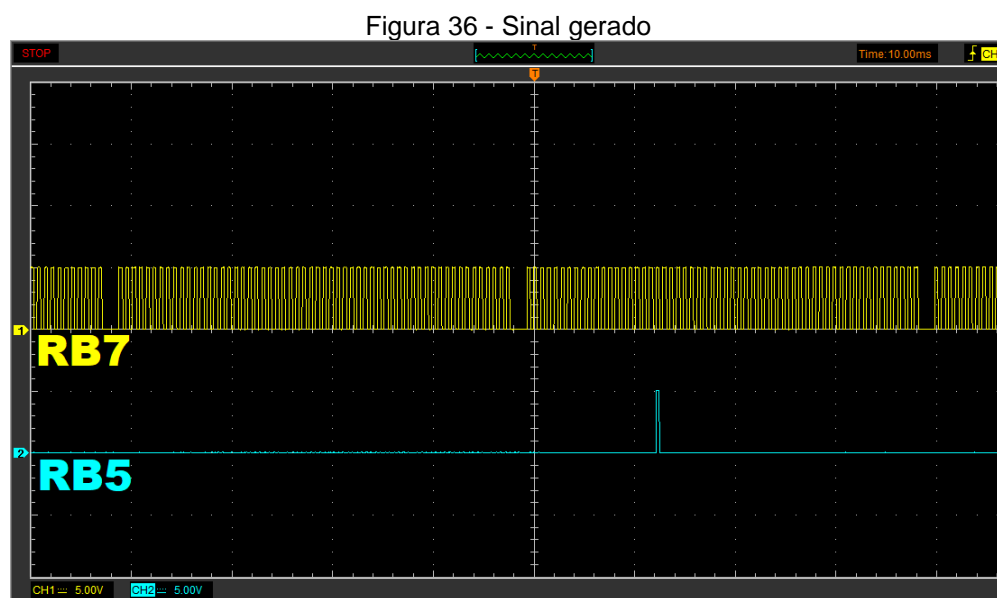
Na figura 35 vemos a placa de desenvolvimento FATEC com o programa de simulação nos dois extremos de rotação possíveis.

Figura 35 - ECU simulação



Fonte: o autor (2020)

O sinal de onda quadrada da roda fônica 60-2 é obtido no pino RB7 do microcontrolador PIC18F4550 e o sinal do sensor de fase da árvore de comando de válvulas é obtido no pino RB5. Na figura 36 é ilustrado o sinal dos respectivos pinos obtidos no osciloscópio.



Fonte: O autor (2020)

### 3.2. Hardware de sincronismo do motor

Para o desenvolvimento do sistema de sincronismo, foi utilizada uma outra placa de desenvolvimento FATEC, figura 37.

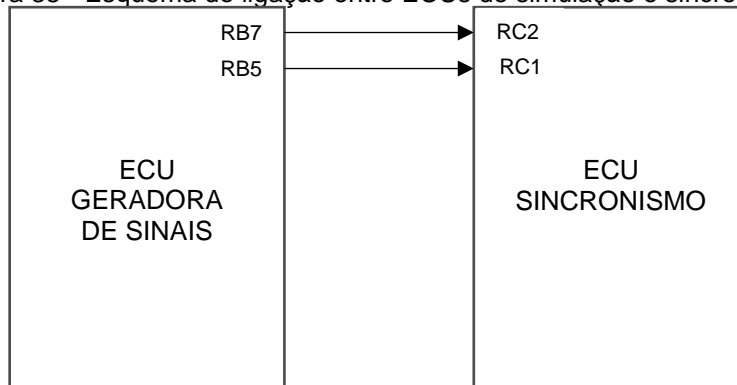
Figura 37 - ECU sincronismo



Fonte: O autor (2020)

O *hardware* de sincronismo ligado ao *hardware* gerador de sinais, como ilustrado na figura 38, realizará a leitura das informações geradas dos sinais de rotação e fase.

Figura 38 - Esquema de ligação entre ECUs de simulação e sincronismo.



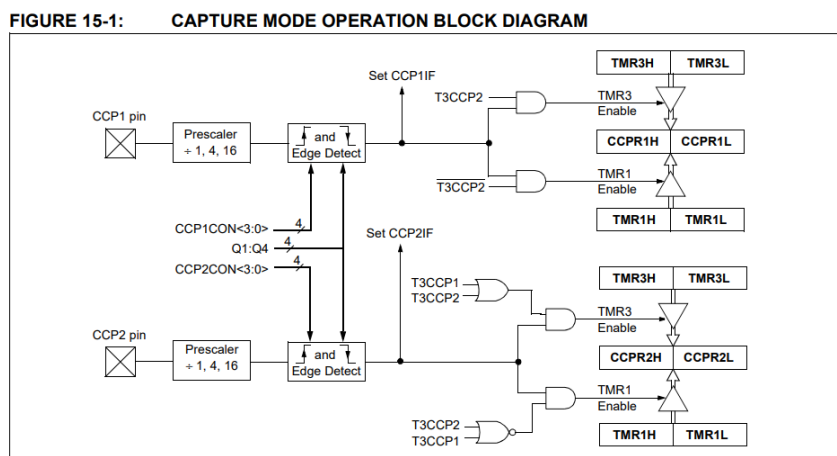
Fonte: O autor (2020)

Devido ao sinal de rotação possuir a característica de variação de tempos entre 83,3 $\mu$ s e 625 $\mu$ s, a implementação da leitura desse sinal pode ser feita de duas formas:

1. *Pooling*: Neste sistema o microcontrolador espera a troca de estado de uma determinada porta através da leitura contínua, impedindo que este realize qualquer outra tarefa.
2. Interrupção: Este método permite que o microcontrolador execute outras tarefas e, quando ocorrer mudança de estado da porta, o programa interrompe o que estiver fazendo e executa a rotina de interrupção. Ao fim da rotina de interrupção o programa volta ao mesmo ponto de onde foi interrompido.

No *hardware* de sincronismo, os pinos RC1 e RC2 foram configurados como CCP2 e CCP1 respectivamente no modo de captura, como ilustra a figura 39.

Figura 39 - Esquema de funcionamento da CCP1 e CCP2.



Fonte: Adaptado de PIC18F2455/2550/4455/4550 Data Sheet (2006)

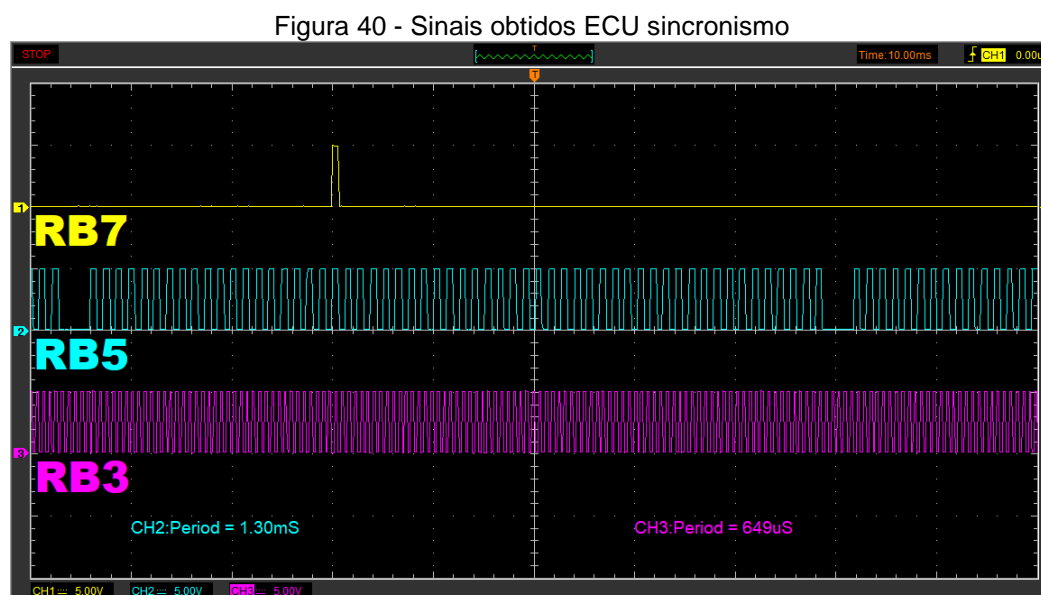
Para o projeto foi utilizado o pino RC2, configurado como interrupção.

Dessa forma o sinal recebido de rotação da árvore de manivelas causa uma interrupção, também foi adicionado um *led* ao pino RB7, reproduzindo um sinal similar ao de entrada no RC2, que será empregado para a depuração funcional do *software*.

O pino RC1 recebe o sinal do sensor de fase e, a cada interrupção gerada por esse pino inverte o estado do *led* ligado ao RB5, reproduzindo um sinal similar ao de entrada no pino RC1.

O sinal de rotação é tratado pelo *software* e então gera um sinal com metade do período de onda do sinal em entrada que é transmitido ao pino RB3 e tem um *led* a ele ligado.

Com um osciloscópio ligado aos respectivos pinos temos os sinais ilustrados na figura 40.



Fonte: O autor (2020)

Com o sinal gerado em RB3 obtém-se uma precisão de leitura de  $1,5^\circ$ .

### 3.3. Software de simulação do motor

Utilizando os periféricos do microcontrolador PIC18F4550, as interrupções por base de tempo, o programa foi desenvolvido com base na característica dos sinais dos sensores de rotação e fase, respeitando as suas respectivas características de tempo e nível lógico. Na tabela 2 encontram-se os valores de tempo das respectivas rotações.

Tabela 2 - Valores de tempo da ECU de simulação

Rotação [rpm]	Rotação [rps]	Tempo de volta [ms]	Tempo de dente [μs]
800	13,333	75	625
1000	16,667	60	500
1500	25	40	333,333
2000	33,333	30	250
2500	41,667	24	200
3000	50	20	166,667
3500	58,333	17,143	142,857
4000	66,667	15	125
4500	75	13,333	111,111
5000	83,333	12	100
5500	91,667	10,909	90,909
6000	100	10	83,333

Fonte: O autor (2020)

Com o valor de tempo equivalente a três graus, referente ao intervalo da extremidade do dente ou do intervalo entre um dente e outro, determina-se o valor inicial do registrador de tempo, *timer 0*, para que a interrupção seja gerada no tempo exato para cada valor de rotação. Para determinar o valor inicial de contagem utiliza-se a fórmula 1.

$$\text{Fórmula 1 - Determinar valor inicial da contagem do timer}$$

$$\text{Valor inicial} = \text{tempo máximo} - \frac{\text{tempo desejado}}{\text{tempo de incremento}}$$

Fonte: O autor (2020)

Com os valores de tempos desejados aplicados a fórmula 1, obteve-se os valores iniciais apresentados na tabela 3, com os respectivos valores hexadecimais a serem inseridos no programa.

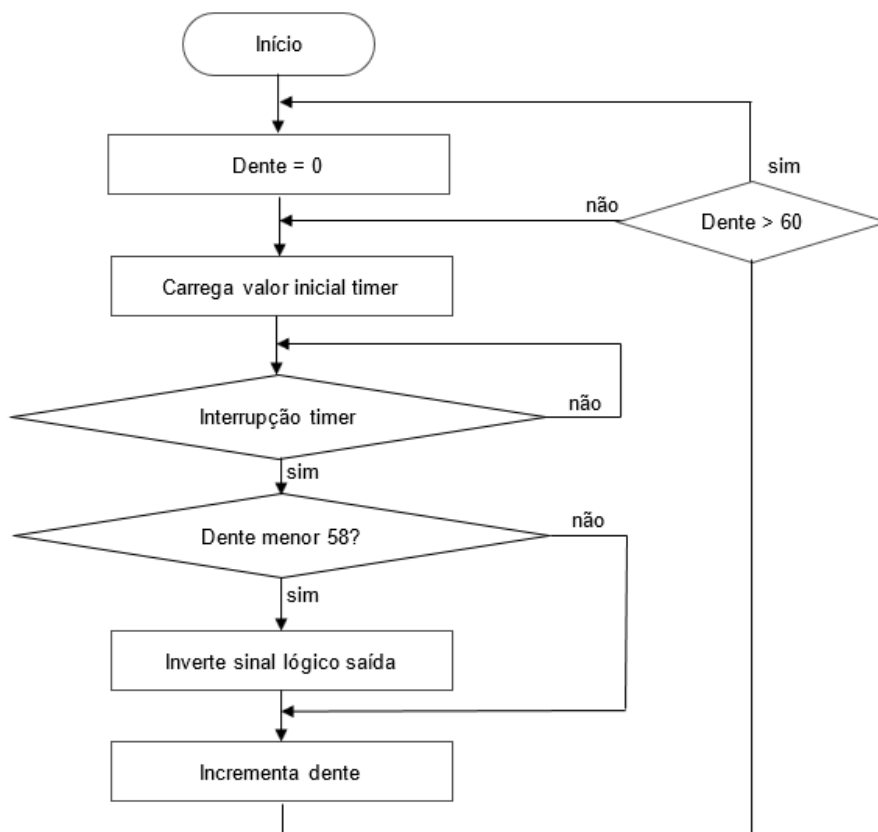
Tabela 3 - Tabela valor inicial Timer 0

<b>Rotação [rpm]</b>	<b>Tempo desejado [μs]</b>	<b>Pré-escala</b>	<b>Valor inicial decimal</b>	<b>Valor inicial hexadecimal</b>	<b>Valor inicial calibrado hexadecimal</b>
800	625	32	22	15	14
1000	500	32	69	44	43
1500	333,333	32	131	83	82
2000	250	32	162	A2	A1
2500	200	32	181	B5	B4
3000	166,667	8	06	06	05
3500	142,857	8	42	29	28
4000	125	8	69	44	43
4500	111,111	8	89	59	58
5000	100	8	106	6A	69
5500	90,909	8	120	77	76
6000	83,333	8	131	83	82

Fonte: O autor (2020)

Determinado o valor inicial, e calibrando o valor devido a latência, aplica-se no programa de acordo com o gráfico 2.

Gráfico 2 - Fluxograma programa simulação

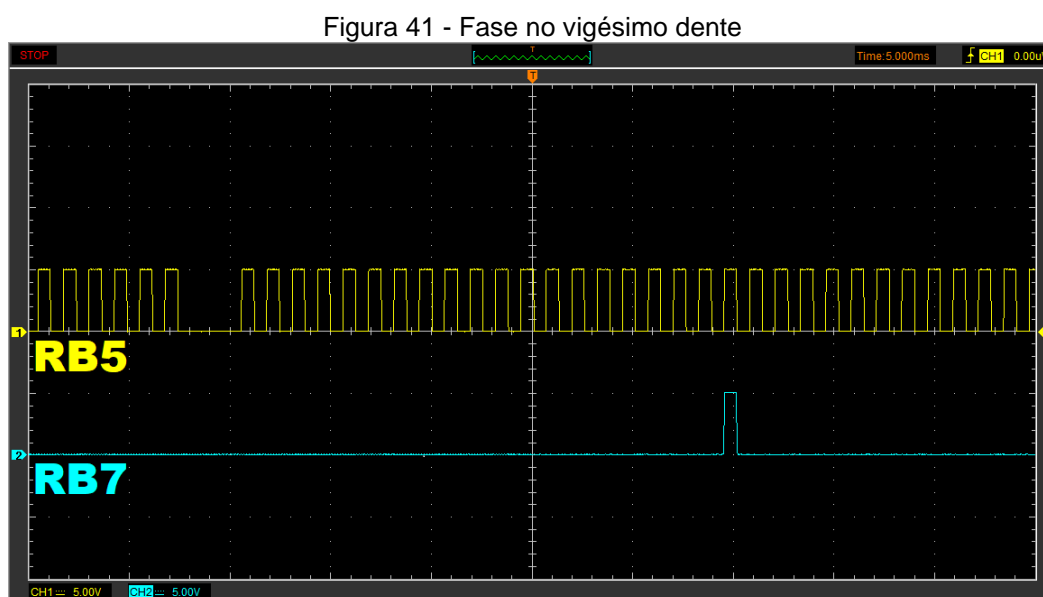


Fonte: O autor (2020)

### 3.4. Software de sincronismo

O programa de sincronismo consiste basicamente em espelhar o sinal recebidos do motor para que assim possa fazer a aquisição do tempo de rotação e garantir o sincronismo da injeção e ignição.

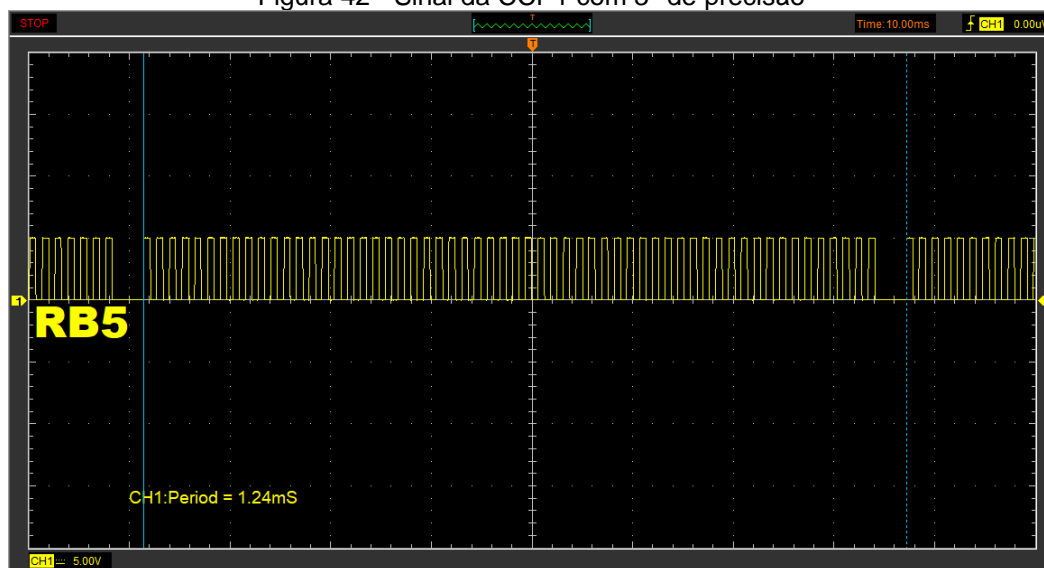
Inicialmente, o programa habilita somente o CCP2 no modo captura para que toda borda de subida, ligado ao sensor de fase. Assim que ocorrer a interrupção, o registrador de posição atual da roda fônica tem seu valor carregado com o valor referente ao PMS do primeiro e quarto cilindro, como se vê na figura 41 o PMS está no vigésimo dente, e habilita uma flag indicando que o motor está na primeira volta do ciclo Otto.



Fonte: O autor (2020)

Após o sincronismo de fase do motor, é habilitado o CCP1 em modo de captura, e configurada inicialmente para detectar todas as bordas de subida do sinal. Quando esta condição é satisfeita, o CCP1 é reconfigurado para atuar em todas as bordas de descida, garantindo uma precisão de três graus, como ilustrado na figura 42.

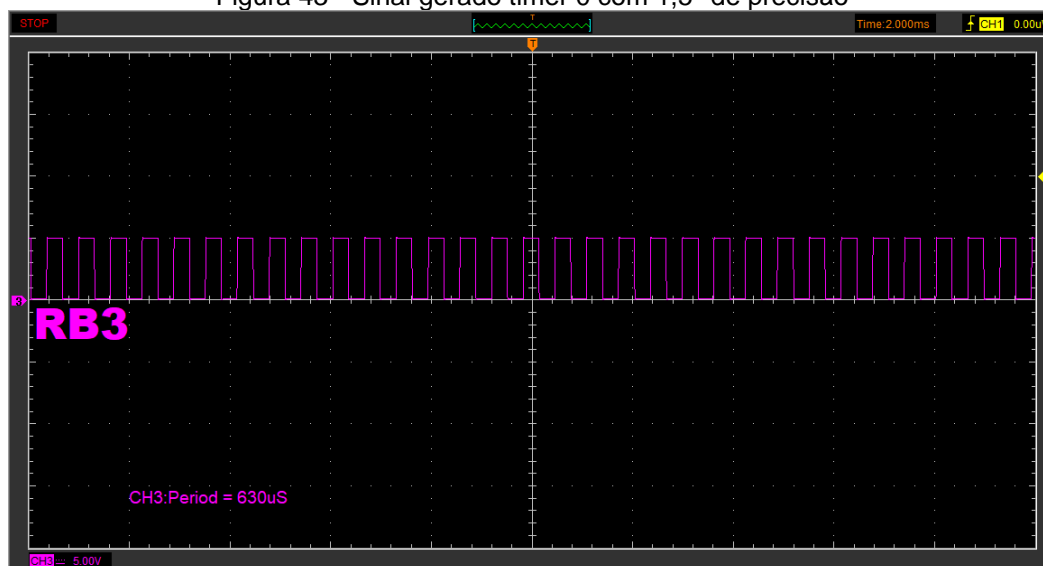
Figura 42 - Sinal da CCP1 com 3° de precisão



Fonte: O autor (2020)

A cada interrupção da CCP1 o valor do registrador de posição atual da roda fônica é incrementado. Com metade do valor de *timer* 1 definido como tempo de interrupção do *timer* 0, obtém-se uma precisão de um grau e meio da posição da roda fônica. O *led* ligado ao RB3 é aceso pela interrupção do *timer* 0 e apagado pela interrupção gerada pela CCP1, gerando o sinal da roda fônica digital ilustrado na figura 43.

Figura 43 - Sinal gerado timer 0 com 1,5° de precisão



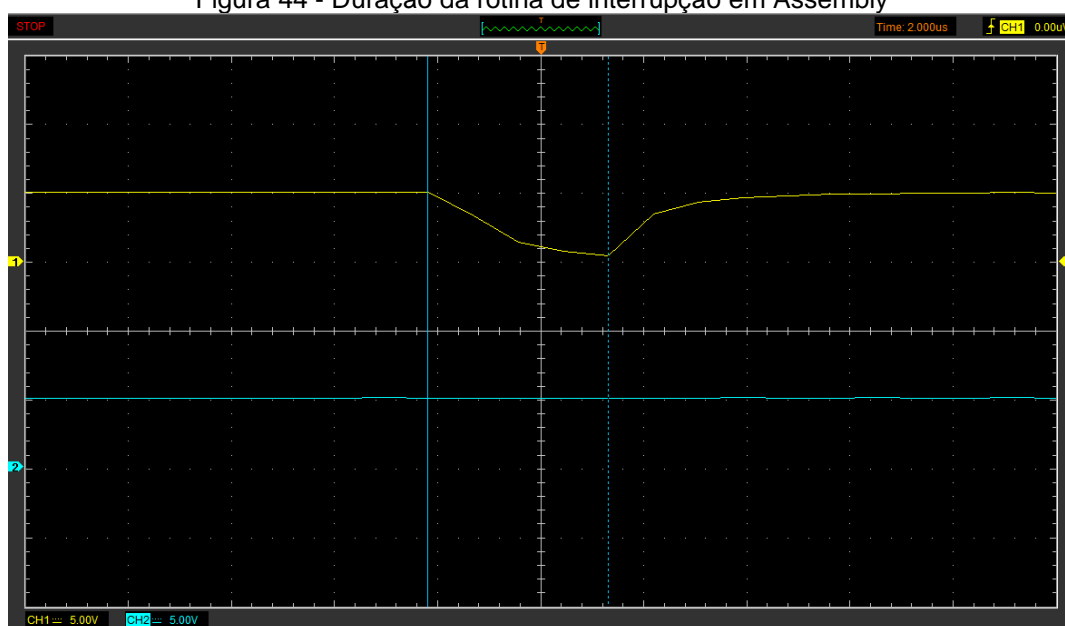
Fonte: O autor (2020)

## 4. TESTES E RESULTADOS

Após a implementação do *software* em *Assembly*, iniciou-se o processo de teste de desempenho entre o sistema desenvolvido em *Assembly* e o existente em linguagem C.

Na figura 44, é demonstrado o tempo de detecção de cada dente da roda fônica com o programa implementado em *Assembly*, o tempo é de  $3,21\mu s$ .

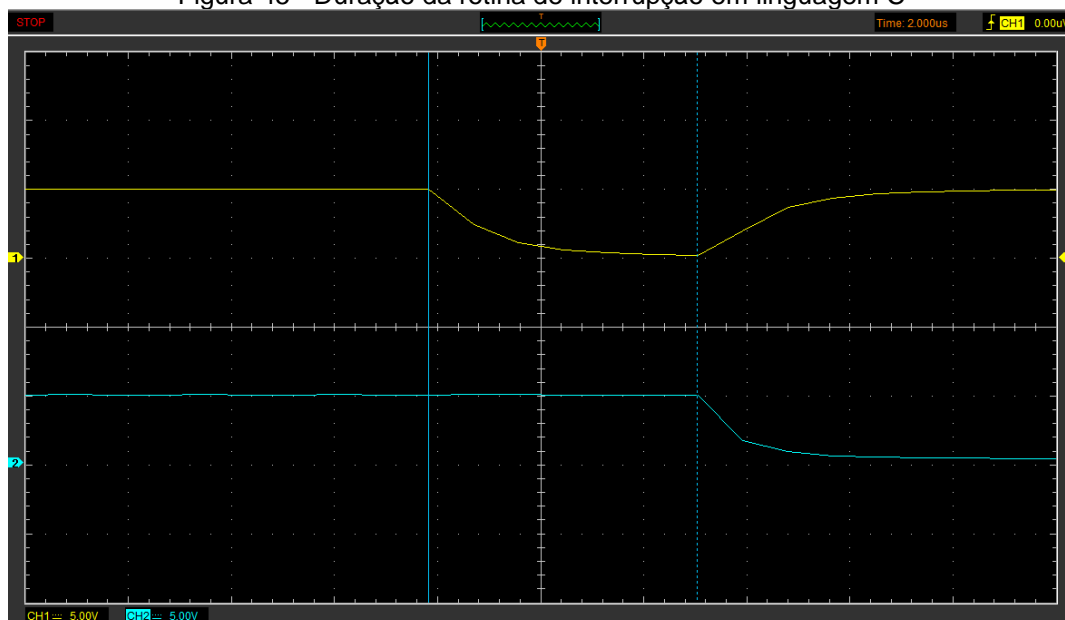
Figura 44 - Duração da rotina de interrupção em *Assembly*



Fonte: O autor (2020)

A implementação do mesmo algoritmo de leitura dos dentes da roda fônica em linguagem C, figura 45, levou aproximadamente  $5\mu\text{s}$ .

Figura 45 - Duração da rotina de interrupção em linguagem C



Fonte: O autor (2020)

Posteriormente, foram realizados testes com diferentes valores de rotação, na tabela 4 estão os resultados dos testes referentes ao sincronismo do primeiro dente da roda virtual, equivalente à metade do primeiro dente da roda fônica.

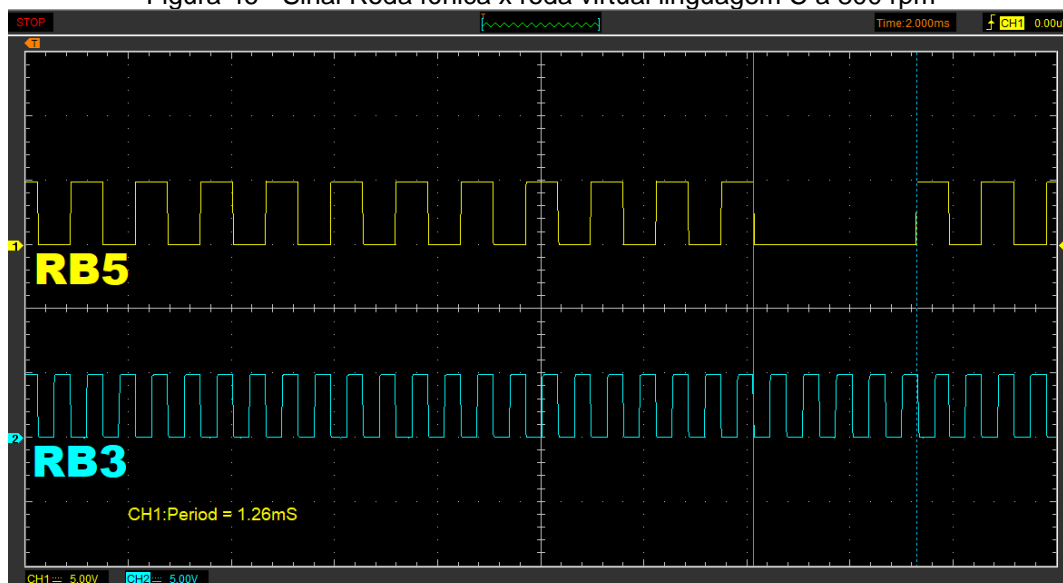
Tabela 4 - Sincronismo do primeiro dente da roda virtual

Rotação [Rpm]	Assembly	Linguagem C
800	Ok	Ok
1000	Ok	Ok
1500	Ok	Falha
2000	Ok	Falha
2500	Ok	Falha
3000	Ok	Falha
3500	Ok	Falha
4000	Ok	Falha
4500	Ok	Falha
5000	Falha	Falha
5500	Falha	Falha
6000	Falha	Falha

Fonte: O autor (2020)

É possível ver nos resultados obtidos que, no *software* desenvolvido em *Assembly* o sincronismo tem uma melhor precisão, apresentando falhas somente em rotações mais elevadas. Nas rotações de 800 e 1000 rpm, o primeiro dente da roda virtual apresentou o mesmo resultado, conforme ilustrado na figura 46.

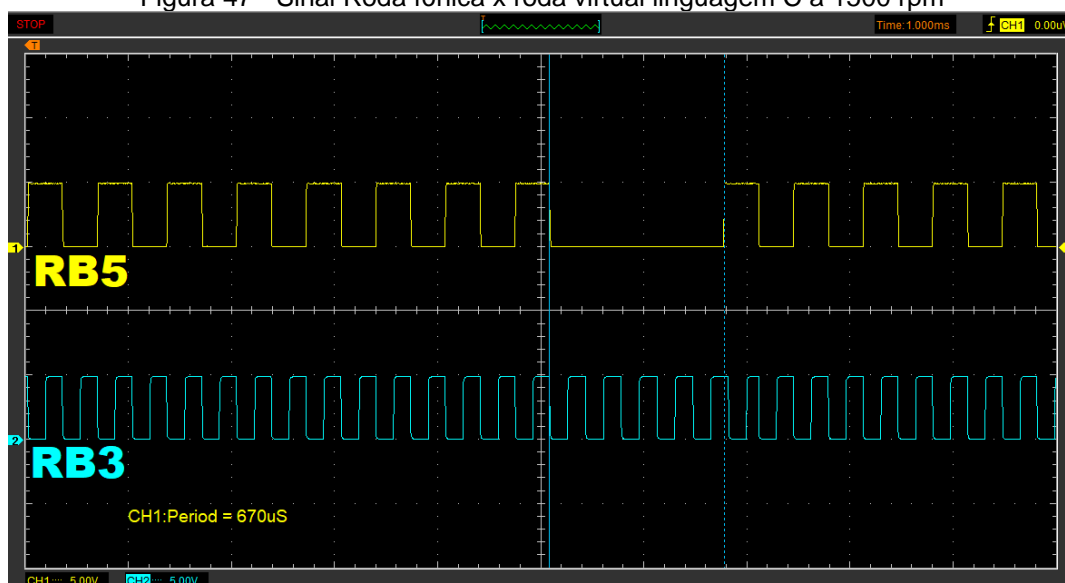
Figura 46 - Sinal Roda fônica x roda virtual linguagem C a 800 rpm



Fonte: O autor (2020)

Com o incremento da rotação, a partir de 1500 rpm, o programa desenvolvido em linguagem C apresentou falhas de sincronismo, como visto na figura 47.

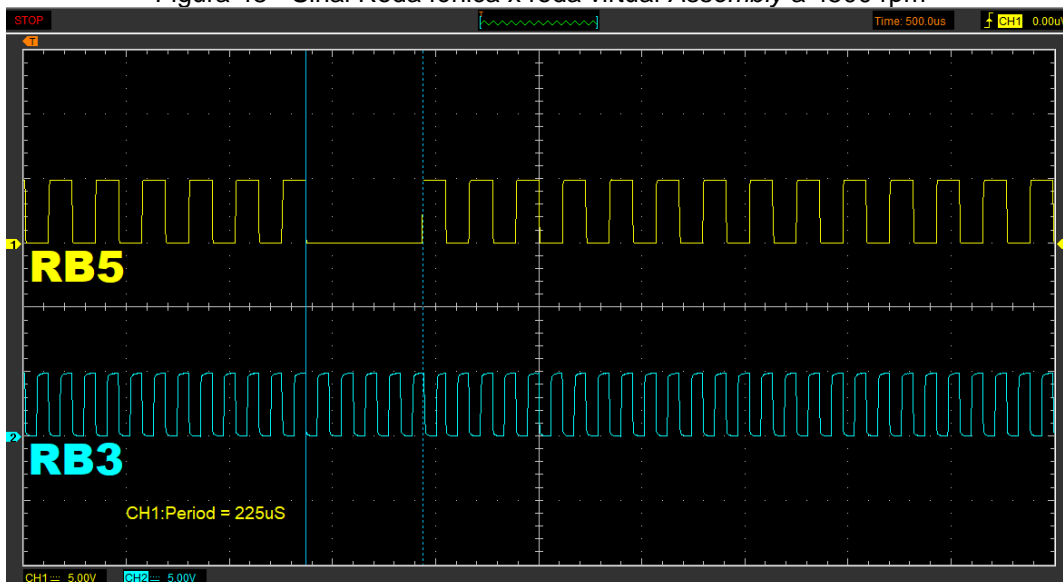
Figura 47 - Sinal Roda fônica x roda virtual linguagem C a 1500 rpm



Fonte: O autor (2020)

Enquanto, no programa *Assembly*, o sincronismo permaneceu íntegro quanto ao sincronismo até a rotação de 4500 rpm como ilustra a figura 48.

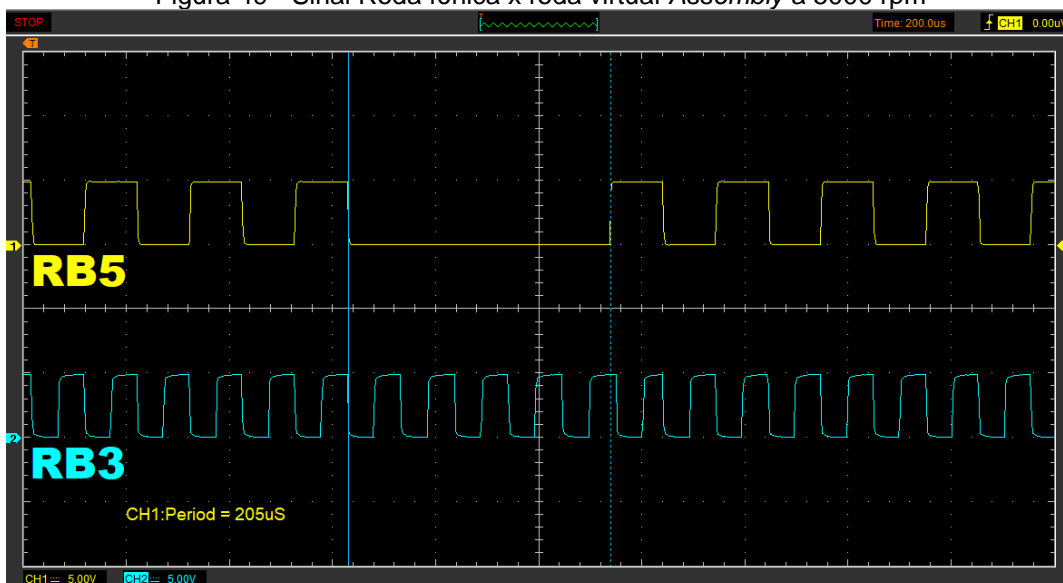
Figura 48 - Sinal Roda fônica x roda virtual *Assembly* a 4500 rpm



Fonte: O autor (2020)

A partir da rotação de 5000 rpm, o programa desenvolvido em *Assembly* começa a apresentar falha no sincronismo do primeiro dente, como pode se ver na figura 49. Foi denominado falha, pois o processamento do dente tende a se atrasar.

Figura 49 - Sinal Roda fônica x roda virtual *Assembly* a 5000 rpm



Fonte: O autor (2020)

## 5. CONCLUSÃO

Após os resultados obtidos, concluiu-se que, apesar da linguagem C ter preferência na programação, devido a sua facilidade e rapidez na programação, apresenta uma certa latência no processamento. Quando o compilador converte da linguagem C para linguagem de baixo nível nem sempre faz da maneira mais eficiente, como se pode ver nos resultados obtidos neste estudo, que compara dois programas iguais em linguagens diferentes.

Sabendo que em um MCI o sincronismo interfere diretamente em questões ambientais como emissão de poluentes, consumo excessivo de combustível e desgaste prematuro de componentes e também em questões de satisfação ao usuário como conforto, potência e durabilidade, utilizando a linguagem *Assembly* ao menos no controle do sincronismo, já obteríamos um ganho significativo em todos esses aspectos

### 5.1. Trabalhos futuros

Integrar o desenvolvimento com um *software* de injeção eletrônica completo;

Utilizar o *software* desenvolvido como uma biblioteca em linguagens de alto nível, permitindo a utilização em *softwares* de gerenciamento já existentes;

Realizar testes funcionais com o *software* desenvolvido e comparar com o existente.

## 6. REFERÊNCIAS

**BRUNETTI, FRANCO. 2012.** *Motores de Combustão Interna*. São Paulo : Blucher, 2012.

**CAPELLI, ALEXANDRE. 2010.** *Eletroeletrônica Automotiva Injeção Eletrônica, Arquitetura do Motor e Sistemas Embarcados*. São Paulo : Érica, 2010.

**DELPHI. 2003.** ETC Air Control Valve (ETC-ACV). *Application Manual*. Rochester, Nova Iorque, Estados Unidos da América : Delphi Corporation, Junho de 2003.

—. **2005.** Ignition System Application Manual. *Energy and chassis*. Brighton, Michigan, Estados Unidos da América : Delphi Automotive Systems, Janeiro de 2005.

**GLEHN, FABIO RIBEIRO von. 2001.** *Curso de Injeção Eletrônica*. Goiânia : Ciclo Engenharia, 2001.

**MANAVELLA, HUMBERTO JOSÉ. 2003.** *Controle Integrado do Motor Sistemas de Injeção- Ignição Eletrônica*. São Pauo : HM Autotrônica, 2003.

**MICROCHIP. 2006.** PIC18F2455/2550/4455/4550 Data sheet 28/40/44-Pin, High-Performance. Chandler and Tempe, Arizona and Mountain View, California : s.n., 2006.

**MOUAAZ NAHAS, ADI MAAITA. 2012.** Choosing Appropriate Programming Language to Implement Software to Real-Time Resource-Constrained Embedded Systems. 2012.

## 7. APÊNDICES

### 7.1. Apêndice A - Programa simulador de sinais de rotação e fase

```

;=====
;Arquivo:          rodadigital.asm
;Autor:           Felipe Marotti Mochiuti
;=====

;=====
;                                     CONFIGURAÇÕES
;=====
LIST          p=18f4550
#include      "p18f4550.inc"
CONFIG PLLDIV = 5          ; PLL: Divide por 5 para cristal de 20
MHz (A frequência de entrada deve ser de 4Mhz)
CONFIG CPUDIV = OSC1_PLL2      ; Configura frequência do
microcontrolador para 48Mhz
CONFIG FOSC = HSPLL_HS        ; Configura cristal oscilador como High
Speed e habilita multiplicador de frequência PLL
CONFIG PWRT = ON              ; Habilita Power-up, aguarda em média
65,5 ms até que VCC se estabilize
CONFIG BOR = OFF              ; Desabilita Brown-out Reset
CONFIG WDT = OFF              ; Desabilita Watchdog Timer
CONFIG PBADEN = OFF           ; PORTB configurado como portas digitais
CONFIG MCLRE = ON             ; Pino RE3 habilitado como MCLR
;=====

;=====
;                                     ENTRADAS E SAÍDAS
;=====
;                                     SAÍDAS
;-----
#define sinal          LATB,7          ; Saída do sinal gerado
da roda fônica
#define fase           LATB,5          ; Saída do sinal gerado
da fase do comando
;-----
;                                     ENTRADAS
;-----
#define B1             PORTE,0         ; Botão para
abaixar a rotação
#define B2             PORTE,1         ; Botão para
rotação de marcha lenta 800 Rpm
#define B3             PORTE,2         ; Botão para
aumentar a rotação
;=====

;=====
;                                     DEFINIÇÕES LCD
;=====
;-----
;                                     ESCRITA LCD
;-----
#define S_RS          bsf             LATD,1      ; Comando setar o bit
Register Select do display ligado ao RD1
#define S_EN          bsf             LATD,0      ; Comando setar o bit

```

```

Enable do display ligado ao RD0
#define S_RW bsf LATD,2 ; Comando setar o bit
Read/Write do display ligado ao RD2
#define C_RS bcf LATD,1 ; Comando zerar o bit
Register Select do display ligado ao RD1
#define C_EN bcf LATD,0 ; Comando zerar o bit
Enable do display ligado ao RD0
#define C_RW bcf LATD,2 ; Comando zerar o bit
Read/Write do display ligado ao RD2
;-----
; PINOS LCD
;-----
#define S_D4 bsf LATD,4 ; Comando setar o bit
Data Pin 4 do display ligado ao RD4
#define S_D5 bsf LATD,5 ; Comando setar o bit
Data Pin 5 do display ligado ao RD5
#define S_D6 bsf LATD,6 ; Comando setar o bit
Data Pin 6 do display ligado ao RD6
#define S_D7 bsf LATD,7 ; Comando setar o bit
Data Pin 7 do display ligado ao RD7
#define C_D4 bcf LATD,4 ; Comando zerar o bit
Data Pin 4 do display ligado ao RD4
#define C_D5 bcf LATD,5 ; Comando zerar o bit
Data Pin 5 do display ligado ao RD5
#define C_D6 bcf LATD,6 ; Comando zerar o bit
Data Pin 6 do display ligado ao RD6
#define C_D7 bcf LATD,7 ; Comando zerar o bit
Data Pin 7 do display ligado ao RD7
;-----
; FLAGS RODA VIRTUAL
;-----
#define f_falha FLAG,7 ; Flag indicadora
da falha da roda fônica
#define f_fase FLAG,6 ; Flag indicadora
da fase do comando de válvulas
;-----
; FLAGS DEBOUNCE
;-----
#define f_press DEBOUNCE_FLAG,0 ; Flag
indicadora de botão pressionado
#define f_debounce DEBOUNCE_FLAG,1 ; Flag indicadora
de debounce realizado
#define f_b1 DEBOUNCE_FLAG,2 ; Flag indicadora
da primeira passagem pela rotina do botão b1
#define f_b2 DEBOUNCE_FLAG,3 ; Flag indicadora
da primeira passagem pela rotina do botão b2
#define f_b3 DEBOUNCE_FLAG,4 ; Flag indicadora
da primeira passagem pela rotina do botão b3
;-----
;=====
;PAGINAÇÃO DE MEMÓRIA
;=====
cblock 0x0020
;-----
; variáveis para salvar contexto antes de realizar a rotina de
interrupção
W_TEMP
STATUS_TEMP

```

```

        BSR_TEMP
;-----
    DENTE                ; Variável armazena valor do dente atual
    AUX_RPM              ; Variável armazena valor referente ao
tempo de interrupção do RPM selecionado
    FLAG                ; Armazena valor das Flags de falha e fase
    RPM_VTR             ; Registrador de posição de RPM
;-----
; variáveis do display
    COMANDO              ; Variável utilizada para comando do
display
    CHARACTER           ; Variável utilizada para escrita de caracter
no display
    AUX_DELAY           ; Variável utilizada para delay do display e
botões
    ENDERECO            ; Variável utilizada para endereço de escrita
no display
;-----
; variáveis para debounce dos botões
    AUX_DEBOUNCE        ; Variável de tempo do debounce incrementada no
interrupção de tempo
    DEBOUNCE_FLAG       ; Registrador que armazena Flags auxiliares do
debounce
    VALOR_DEBOUNCE      ; Valor de tempo do debounce

endc

;=====
;VARIABLES
;=====
; valores utilizados para base de tempo de cada dente da roda fônica com
uma pré-escala de 1:32
#define RPM_800          0x14 ; Tempo de dente de 625us
#define RPM_1000         0x43 ; Tempo de dente de 500us
#define RPM_1500         0x82 ; Tempo de dente de 333us
#define RPM_2000         0xA1 ; Tempo de dente de 250us
#define RPM_2500         0xB4 ; Tempo de dente de 200us
;-----
; valores utilizados para base de tempo de cada dente da roda fônica com
uma pré-escala de 1:8
#define RPM_3000         0x05 ; Tempo de dente de 166us
#define RPM_3500         0x28 ; Tempo de dente de 142us
#define RPM_4000         0x43 ; Tempo de dente de 125us
#define RPM_4500         0x58 ; Tempo de dente de 111us
#define RPM_5000         0x69 ; Tempo de dente de 100us
#define RPM_5500         0x76 ; Tempo de dente de 90us
#define RPM_6000         0x82 ; Tempo de dente de 83us
;-----
; valor das posições da roda fônica e fase do comando
#define valor_inicial    0x88 ; zera após 120 incrementos
#define valor_falha      0xFB ; valor do intervalo da falha
#define valor_fase       0xAE ; sinal de fase no 20° dente
#define t_debounce       0x9B ; debounce de 100ms
;=====
;VETOR RESET
;=====
        org             0x0000
        goto inicio

```

```

;=====
;INTERRUPÇÕES
;=====
        org             0x08
movwf   W_TEMP           ; salva w em W_TEMP
movff   STATUS, STATUS_TEMP ; salva status em STATUS_TEMP
movff   BSR, BSR_TEMP    ; salva bsr em BSR_TEMP
;-----
;
;                               TIMER 0
;-----
        btfsc INTCON,TMR0IE
        btfss INTCON,TMR0IF
        bra      saida_tmr0
        movff AUX_RPM,TMR0L
        incfsz  DENTE
        bra      testa_dente
        movlw  valor_inicial
        movwf  DENTE
        bcf    sinal
testa_dente:
        bcf    fase
        movlw valor_fase
        cpfseq DENTE
        bra    testa_falha
        btg    f_fase
        btfsc f_fase
        bsf    fase
testa_falha:
        movlw valor_falha
        cpfsgt DENTE
        btg    sinal
        bcf    INTCON,TMR0IF
saida_tmr0:
;-----
;
;                               TIMER 1
;-----
        btfss PIR1,TMR1IF
        goto  saida_tmr1
        movlw 0xD1
        movwf TMR1H
        movlw 0x1F
        movwf TMR1L
        decf  AUX_DELAY
        btfsc f_press
        incfsz AUX_DEBOUNCE
        goto  saida_timer_1_ok
        bsf   f_debounce
saida_timer_1_ok:
        bcf   PIR1,TMR1IF
saida_tmr1:
;-----
;
;                               SAIDA INTERRUPÇÕES
;-----
saida_int:
        movff BSR_TEMP, BSR           ; recupera BSR
        movf  W_TEMP, W               ; recupera WREG
        movff STATUS_TEMP, STATUS    ; recupera STATUS

```

```

retfie
;=====

;=====
;PROGRAMA PRINCIPAL
;=====
inicio:
    call    config_hw
    movlw  t_debounce
    movff  WREG,VALOR_DEBOUNCE
    clrf   DEBOUNCE_FLAG
    movlw  valor_inicial
    movwf  DENTE
    clrf   RPM_VTR
    clrf   FLAG
    setf   LATB

    call   lcd_init
    movlw  0x11
    call   endereco_lcd
    movlw  'R'
    call   caracter_lcd
    movlw  'P'
    call   caracter_lcd
    movlw  'M'
    call   caracter_lcd
    movlw  ':'
    call   caracter_lcd
    movlw  ' '
    call   caracter_lcd
    movlw  '8'
    call   caracter_lcd
    movlw  '0'
    call   caracter_lcd
    movlw  '0'
    call   caracter_lcd
    bsf    INTCON,TMR0IE

loop:
    btfss  f_b1
    btfss  B1
    call   trata_b1

    btfss  f_b2
    btfss  B2
    call   trata_b2

    btfss  f_b3
    btfss  B3
    call   trata_b3
    goto  loop

config_hw:
;---      in/out      ---      ;configurações gerais
    movlw  0x0F
    movwf  ADCON1
    movlw  0x00
    movwf  TRISA
    clrf   PORTA

```

```

        movlw 0x00          ;
        movwf TRISB        ;
        clrf  PORTB
        movlw 0x80          ;
        movwf TRISC        ;
        clrf  PORTC
        movlw 0x00          ;
        movwf TRISD        ;
        clrf  PORTD
        movlw 0x07          ;
        movwf TRISE        ;
        clrf  PORTE

;---      interrupções      ---      *****
interrupções      bcf      RCON,IPEN      ;Desabilita      prioridade      de
interrupções      movlw 0xC0      ;Habilita interrupções e periféricos
                  movwf  INTCON

;---      timer0      ---
                  movlw 0xC4
                  movwf  T0CON
                  movlw  RPM_800
                  movwf  AUX_RPM
                  movff  AUX_RPM,TMR0L

;---      timer1      ---
                  movlw 0x81
                  movwf  T1CON
                  clrf  TMR1L
bsf      PIE1,TMR1IE

;---      ---
return

rpm_select:
        tstfsz      RPM_VTR
        goto  maior_0
        bsf      T0CON,T0PS2
        bcf      T0CON,T0PS1
        bcf      T0CON,T0PS0
        movlw  RPM_800
        movwf  AUX_RPM
        movlw  0x15
        call  endereco_lcd
        movlw  ' '
        call  caracter_lcd
        movlw  '8'
        call  caracter_lcd
        goto  saida_rpm_select

maior_0:
        clrf  WREG
        addlw 0x01
        cpfszt      RPM_VTR
        goto  rpm_1

        addlw 0x01
        cpfszt      RPM_VTR

```

```

goto rpm_2

addlw 0x01
cpfsgt RPM_VTR
goto rpm_3

addlw 0x01
cpfsgt RPM_VTR
goto rpm_4

addlw 0x01
cpfsgt RPM_VTR
goto rpm_5

addlw 0x01
cpfsgt RPM_VTR
goto rpm_6

addlw 0x01
cpfsgt RPM_VTR
goto rpm_7

addlw 0x01
cpfsgt RPM_VTR
goto rpm_8

addlw 0x01
cpfsgt RPM_VTR
goto rpm_9

addlw 0x01
cpfsgt RPM_VTR
goto rpm_10
goto rpm_11

rpm_1:
movlw RPM_1000
movwf AUX_RPM
; movlw 0xFE
; movwf LATB
movlw 0x15
call endereco_lcd
movlw '1'
call caracter_lcd
movlw '0'
call caracter_lcd
goto saida_rpm_select

rpm_2:
movlw RPM_1500
movwf AUX_RPM
; movlw 0xFD
; movwf LATB
movlw 0x15
call endereco_lcd
movlw '1'
call caracter_lcd
movlw '5'
call caracter_lcd

```

```

        goto    saida_rpm_select

rpm_3:
    movlw    RPM_2000
    movwf    AUX_RPM
;    movlw    0xFC
;    movwf    LATB
    movlw    0x15
    call     endereco_lcd
    movlw    '2'
    call     caracter_lcd
    movlw    '0'
    call     caracter_lcd
    goto    saida_rpm_select

rpm_4:
    bsf      T0CON,T0PS2
    bcf      T0CON,T0PS1
    bcf      T0CON,T0PS0
    movlw    RPM_2500
    movwf    AUX_RPM
;    movlw    0xFB
;    movwf    LATB
    movlw    0x15
    call     endereco_lcd
    movlw    '2'
    call     caracter_lcd
    movlw    '5'
    call     caracter_lcd
    goto    saida_rpm_select

rpm_5:
    bcf      T0CON,T0PS2
    bsf      T0CON,T0PS1
    bcf      T0CON,T0PS0
    movlw    RPM_3000
    movwf    AUX_RPM
;    movlw    0xFA
;    movwf    LATB
    movlw    0x15
    call     endereco_lcd
    movlw    '3'
    call     caracter_lcd
    movlw    '0'
    call     caracter_lcd
    goto    saida_rpm_select

rpm_6:
    movlw    RPM_3500
    movwf    AUX_RPM
;    movlw    0xF9
;    movwf    LATB
    movlw    0x15
    call     endereco_lcd
    movlw    '3'
    call     caracter_lcd
    movlw    '5'
    call     caracter_lcd
    goto    saida_rpm_select

```

```

rpm_7:
    movlw RPM_4000
    movwf AUX_RPM
;    movlw 0xF8
;    movwf LATB
    movlw 0x15
    call endereco_lcd
    movlw '4'
    call caracter_lcd
    movlw '0'
    call caracter_lcd
    goto saida_rpm_select

```

```

rpm_8:
    movlw RPM_4500
    movwf AUX_RPM
;    movlw 0xF7
;    movwf LATB
    movlw 0x15
    call endereco_lcd
    movlw '4'
    call caracter_lcd
    movlw '5'
    call caracter_lcd
    goto saida_rpm_select

```

```

rpm_9:
    movlw RPM_5000
    movwf AUX_RPM
;    movlw 0xF6
;    movwf LATB
    movlw 0x15
    call endereco_lcd
    movlw '5'
    call caracter_lcd
    movlw '0'
    call caracter_lcd
    goto saida_rpm_select

```

```

rpm_10:
    movlw RPM_5500
    movwf AUX_RPM
;    movlw 0xF5
;    movwf LATB
    movlw 0x15
    call endereco_lcd
    movlw '5'
    call caracter_lcd
    movlw '5'
    call caracter_lcd
    goto saida_rpm_select

```

```

rpm_11:
    movlw RPM_6000
    movwf AUX_RPM
;    movlw 0xF4
;    movwf LATB
    movlw 0x15

```

```

        call endereco_lcd
        movlw '6'
        call caracter_lcd
        movlw '0'
        call caracter_lcd
        goto saida_rpm_select
saida_rpm_select:
        return

;---          LCD          ---
lcd_init:
;          ----  inicialização do lcd  ----

        C_RS
        C_EN
        C_RW

;1          ---          coando inicialização  ---

        S_D4
        S_D5
        C_D6
        C_D7

        movlw 0x0F          ;delay 15ms
        call delay

        S_EN
        movlw 0x01
        call delay
        C_EN
        movlw 0x01
        call delay

;2          ---

        movlw 0x05
        call delay

        S_EN
        movlw 0x01
        call delay
        C_EN
        movlw 0x01
        call delay

;3          ---

        movlw 0x05
        call delay

        S_EN
        movlw 0x01
        call delay
        C_EN
        movlw 0x01
        call delay

;4          ---  envio 0010 nibble high

```

```

C_D7
C_D6
S_D5
C_D4

S_EN
movlw 0x01
call delay
C_EN
movlw 0x01
call delay

;5 ---
movlw 0x28 ;4 bits, 2 linhas, 5x7
call comando_lcd

movlw 0x06 ;incrementa, shift off
call comando_lcd

movlw 0x0C ;display on, cursor off, blink off
call comando_lcd

movlw 0x01 ; limpa display
call comando_lcd

retlw 0x00

;--- COMANDO LCD ---
comando_lcd:
movwf COMANDO

C_EN
C_RW
C_RS

movlw 0x01
call delay

movf COMANDO,W
andlw 0x80
btfss STATUS,Z
S_D7
btfsc STATUS,Z
C_D7

movf COMANDO,W
andlw 0x40
btfss STATUS,Z
S_D6
btfsc STATUS,Z
C_D6

movf COMANDO,W
andlw 0x20
btfss STATUS,Z
S_D5
btfsc STATUS,Z
C_D5

```

```

movf  COMANDO,W
andlw 0x10
btfss STATUS,Z
S_D4
btfsc STATUS,Z
C_D4

```

```

S_EN
movlw 0x01
call delay
C_EN
movlw 0x01
call delay

```

```

swapf COMANDO
movf  COMANDO,W
andlw 0x80
btfss STATUS,Z
S_D7
btfsc STATUS,Z
C_D7

```

```

movf  COMANDO,W
andlw 0x40
btfss STATUS,Z
S_D6
btfsc STATUS,Z
C_D6

```

```

movf  COMANDO,W
andlw 0x20
btfss STATUS,Z
S_D5
btfsc STATUS,Z
C_D5

```

```

movf  COMANDO,W
andlw 0x10
btfss STATUS,Z
S_D4
btfsc STATUS,Z
C_D4

```

```

S_EN
movlw 0x01
call delay
C_EN
movlw 0x01
call delay

```

```

movf  COMANDO,w
andlw 0x30
btfsc STATUS,Z
goto saida_cmd
movlw 0x01
call delay

```

saida\_cmd:

```

        retlw 0x00

; ---          CARACTERE   LCD          ---
character_lcd:
    movwf CHARACTER

    C_RW
    S_RS
    C_EN

    movlw 0x01
    call delay

    movf CHARACTER,W
    andlw 0x80
    btfss STATUS,Z
    S_D7
    btfsc STATUS,Z
    C_D7

    movf CHARACTER,W
    andlw 0x40
    btfss STATUS,Z
    S_D6
    btfsc STATUS,Z
    C_D6

    movf CHARACTER,W
    andlw 0x20
    btfss STATUS,Z
    S_D5
    btfsc STATUS,Z
    C_D5

    movf CHARACTER,W
    andlw 0x10
    btfss STATUS,Z
    S_D4
    btfsc STATUS,Z
    C_D4

    S_EN
    movlw 0x01
    call delay
    C_EN
    movlw 0x01
    call delay

    swapf CHARACTER
    movf CHARACTER,W
    andlw 0x80
    btfss STATUS,Z
    S_D7
    btfsc STATUS,Z
    C_D7

    movf CHARACTER,W
    andlw 0x40
    btfss STATUS,Z

```

```

S_D6
btfsc STATUS,Z
C_D6

movf CHARACTER,W
andlw 0x20
btfss STATUS,Z
S_D5
btfsc STATUS,Z
C_D5

movf CHARACTER,W
andlw 0x10
btfss STATUS,Z
S_D4
btfsc STATUS,Z
C_D4

S_EN
movlw 0x01
call delay
C_EN
movlw 0x01
call delay

retlw 0x00
; --- POSIÇÃO LCD ---
endereco_lcd:
movwf ENDERECO
btfsc ENDERECO,4
goto linha_1
goto linha_2

linha_1:
bcf ENDERECO,7
bcf ENDERECO,6
bcf ENDERECO,5
bcf ENDERECO,4
goto sel_coluna

linha_2:
bcf ENDERECO,7
bsf ENDERECO,6
bcf ENDERECO,5
bcf ENDERECO,4

sel_coluna:
C_RW
C_RS
C_EN

movlw 0x01
call delay

S_D7

movf ENDERECO,W
andlw 0x40
btfss STATUS,Z

```

```
S_D6
btfsc STATUS,Z
C_D6

movf  ENDERECO,W
andlw 0x20
btfss STATUS,Z
S_D5
btfsc STATUS,Z
C_D5

movf  ENDERECO,W
andlw 0x10
btfss STATUS,Z
S_D4
btfsc STATUS,Z
C_D4

S_EN
movlw 0x01
call delay
C_EN
movlw 0x01
call delay

swapf ENDERECO
movf  ENDERECO,W
andlw 0x80
btfss STATUS,Z
S_D7
btfsc STATUS,Z
C_D7

movf  ENDERECO,W
andlw 0x40
btfss STATUS,Z
S_D6
btfsc STATUS,Z
C_D6

movf  ENDERECO,W
andlw 0x20
btfss STATUS,Z
S_D5
btfsc STATUS,Z
C_D5

movf  ENDERECO,W
andlw 0x10
btfss STATUS,Z
S_D4
btfsc STATUS,Z
C_D4

S_EN
movlw 0x01
call delay
C_EN
movlw 0x01
```



```

    btfss f_b3
    movff VALOR_DEBOUNCE,AUX_DEBOUNCE
    bsf      f_b3
    bsf      f_press
    btfss f_debounce
    goto  saida_trata_b3
    bcf      f_b3
    bcf      f_press
    bcf      f_debounce
    btfsc B3
    goto  saida_trata_b3
    movlw 0x0B
    cpfslt      RPM_VTR
    goto  saida_trata_b3
    incf  RPM_VTR
    call  rpm_select
saida_trata_b3:
    return

;=====
end

```

## 7.2. Apêndice B - Programa de sincronismo *assembly*

```

;=====
;Arquivo:          sincronismo.asm
;Autor:           Felipe Marotti Mochiuti
;Modificação:     11/06/2020 - Adicionando comentários
;=====

;=====
;
;                CONFIGURAÇÕES
;=====
LIST          p=18f4550
#include      "p18f4550.inc"
CONFIG PLLDIV = 5          ; PLL: Divide por 5 para cristal de
20 MHz (A frequência de entrada deve ser de 4Mhz)
CONFIG CPUDIV = OSC1_PLL2 ; Configura frequência do
microcontrolador para 48Mhz
CONFIG FOSC = HSPLL_HS    ; Configura cristal oscilador
como High Speed e habilita multiplicador de frequência PLL
CONFIG FCMEN = OFF        ; Desabilita o monitor de
falha de frequência
CONFIG IESO = OFF         ; Desabilita a troca de clock
interno/externo
CONFIG PWRT = ON          ; Habilita Power-up, aguarda
em média 65,5 ms até que VCC se estabilize
CONFIG BOR = OFF          ; Desabilita Brown-out Reset
CONFIG WDT = OFF          ; Desabilita Watchdog Timer
CONFIG PBADEN = OFF       ; PORTB configurado como portas
digitais
CONFIG MCLRE = ON         ; Pino RE3 habilitado como MCLR
CONFIG CCP2MX = ON        ; Habilita pino RC1 como entrada da
CCP2

;=====

;=====
;
;                PAGINAÇÃO DE MEMÓRIA
;=====

```

```

;-----
cblock      0x00
;--Variáveis para salvar contexto quando ocorrer alguma interrupção---
    W_TEMP_LP
    STATUS_TEMP_LP
    BSR_TEMP_LP
    W_TEMP_HP
    STATUS_TEMP_HP
    BSR_TEMP_HP
;-----
    DENTE_ATUAL                ;Variável de posição da
roda fônica em relação ao sensor de rotação
    FLAG                        ;Variável utilizada
para flags do programa
    AUX_TMR0L                  ;Variável auxiliar
Timer0 do bit 0 ao 7
    AUX_TMR0H                  ;Variável auxiliar
Timer0 do bit 8 ao 15
endc
;=====

;=====
;                               VARIÁVEIS
;-----
#define      falha_roda        0x73      ;Intervalo da falha no dente
58
#define      pms_14_roda      0x28      ;Ponto Morto Superior
cilindros 1 e 4
;=====

;=====
;                               FLAGS
;-----
#define      f_volta_1        FLAG,0    ;Indicador de volta do
ciclo Otto: 1 = 1ªvolta; 0 = 2ªvolta.
#define      f_carga_tmr0    FLAG,1    ;Indicador de carga do
timer0: 1 = timer0 carregado.
#define      f_dente_1      FLAG,2    ;Indicador do primeiro
dente da roda fônica: 1 = 1ºdente
;=====

;=====
;                               ENTRADAS E SAÍDAS
;-----
#define      sinal_fase      LATB,7    ;Sinal da fase
espelhado no pino RB7
#define      sinal_fonica    LATB,5    ;Sinal da roda fônica
espelhado no pino RB5
#define      sinal_virtual   LATB,3    ;Sinal da roda virtual
espelhado no pino RB3
;=====

;=====
;                               VETOR RESET
;-----
org      0x0000
goto    config_hw
;=====

```

```

;-----
;                                     VETOR INTERRUPÇÕES
;-----
org          0x0008
movwf W_TEMP_HP          ; salva w em W_TEMP_HP
movff STATUS, STATUS_TEMP_HP ; salva status em STATUS_TEMP_HP
movff BSR, BSR_TEMP_HP    ; salva bsr em BSR_TMEP_HP
bra         isr_hp        ; vai para
interrupção de alta prioridade
;-----
org          0x0018
movwf W_TEMP_LP          ; salva w em W_TEMP_LP
movff STATUS, STATUS_TEMP_LP ; salva status em STATUS_TEMP_LP
movff BSR, BSR_TEMP_LP    ; salva bsr em BSR_TEMP_LP
bra         isr_lp        ; vai para
interrupção de baixa prioridade
;-----
;                                     PRIORIDADE BAIXA
;-----
isr_lp:
;-----
;                                     CCP1
;-----
btfsc PIE1,CCP1IE      ; Verifica se CCP1 esta
habilitada
btfss PIR1,CCP1IF      ; Verifica se ocorreu
interrupção da CCP1
bra         saida_ccp1  ; Se não houve
interrupção vai para saida_ccp1
btg         CCP1CON,0   ; Inverte leitura de
borda de subida para descida e vice-versa
btfss f_dente_1        ; Verifica se roda fônica já
passou pelo primeiro dente
bra         dente_1    ; Se não passou
pelo primeiro dente vai para dente_1
bcf         STATUS,C    ; Limpa o bit de CARRY
do STATUS antes de rotacionar o byte alto do Timer1 para direita
rrcf       TMR1H,W      ; Rotaciona o byte alto
de Timer1 e armazena o resultado em W
comf       WREG         ; Salva o complemento do
valor de W em W
movwf     TMR0H        ; Transfere o valor de W para
byte alto de Timer0
movwf     AUX_TMR0H    ; Transfere o valor de
W para AUX_TMR0H
rrcf       TMR1L,W      ; Rotaciona o byte
baixo do Timer1 com o valor atual de CARRY e armazena em W
comf       WREG         ; Salva o complemento do
valor de W em W
movwf     TMR0L        ; Transfere o valor de W para
byte baixo de Timer0
movwf     AUX_TMR0L    ; Transfere o valor de W para
AUX_TMR0L
bsf         f_carga_tmr0 ; Habilita a Flag de
carga do Timer0
bcf         sinal_virtual ; Zera o valor do sinal
da roda digital para que esta comece o período em nível baixo

```

```

        bcf          INTCON,TMR0IF          ; Limpa a Flag de
ocorrência de interrupção do Timer0
        bsf          INTCON,TMR0IE        ; Habilita interrupção
do Timer0
        dente_1:
        bsf          f_dente_1            ; Habilita Flag de
passagem do primeiro ente da roda fônica
        clrf        TMR1H                  ; Limpa registrador TMR1H
        clrf        TMR1L                  ; Limpa registrador TMR1L
        btg          sinal_fonica          ; Inverte sinal lógico
da roda fônica
        incf        DENTE_ATUAL           ; Incrementa variável de
dente da roda fônica
        movlw       falha_roda            ; Transfere 115 decimal para
W
        cpfsgt      DENTE_ATUAL           ; Compara valor de
DENTE_ATUAL com 115 e pula próxima linha se DENTE_ATUAL for maior
        bra         saida_ccp1_ok         ; Se não for maior vai
para saida_ccp1_ok
        btg          f_volta_1            ; Troca status de volta
1 para 2 e vice-versa
        clrf        DENTE_ATUAL           ; Zera a variável de dente
atual
        bcf          f_carga_tmr0         ; Limpa a Flag de carga
de Timer0
        bcf          f_dente_1            ; Limpa a Flag de
passagem pelo dente 1
        saida_ccp1_ok:
        bcf          PIR1,CCP1IF          ; Limpa a Flag de
ocorrência de interrupção da CCP1
        saida_ccp1:
        ;-----
        ;                               CCP2
        ;-----
        btfss       PIR2,CCP2IF          ; Verifica se ocorreu
interrupção da CCP2
        bra         saida_ccp2            ; Se não houve vai para
saida_ccp2
        btg          CCP2CON,0            ; Inverte leitura de
borda de subida para descida e vice-versa
        btg          sinal_fase           ; Inverte estado lógico
do sinal de fase
        bsf          f_volta_1            ; Habilita a Flag da 1ª
volta
        bcf          PIR2,CCP2IF          ; Limpa a Flag de
ocorrência de interrupção da CCP2
        saida_ccp2:
        bra         saida_int             ; vai para saida_int
        ;-----
        ;                               PRIORIDADE ALTA
        ;-----
        isr_hp:
        ;-----
        ;                               TIMER 0
        ;-----
        btg          sinal_virtual        ; Inverte estado lógico
da roda virtual
        bcf          INTCON,TMR0IE        ; Desabilita
interrupção do Timer0

```

```

    btfsc f_carga_tmr0                ; Testa Flag de carga do
Timer0 e pula próxima linha se igual a zero
    bra      saida_timer_0            ; Se Flag igual a 1 vai
para saida_timer_0
digital_falha:
    movf     AUX_TMR0H,W              ; Transfere AUX_TMR0H
para W
    movwf   TMR0H                     ; Transfere W para o byte
alto do Timer0
    movf    AUX_TMR0L,W              ; Transfere AUX_TMR0L para W
    movwf   TMR0L                     ; Transfere W para o byte
baixo do Timer0
    bsf     INTCON,TMR0IE            ; Habilita interrupção
Timer0
    saida_timer_0:
    bcf     f_carga_tmr0              ; Limpa Flag de carga
do Timer0
    bcf     INTCON,TMR0IF            ; Limpa Flag de
ocorrência de interrupção do Timer0
;-----
;                                     SAIDA INTERRUPTÃO
;-----
saida_int_hp:
    movff   BSR_TEMP_HP, BSR         ; Recupera BSR
    movf    W_TEMP_HP, W             ; Recupera WREG
    movff   STATUS_TEMP_HP, STATUS   ; Recupera STATUS
    retfie                                     ; Retorna da
interrupção de alta prioridade
saida_int:
    movff   BSR_TEMP_LP, BSR         ; Recupera BSR
    movf    W_TEMP_LP, W             ; Recupera WREG
    movff   STATUS_TEMP_LP, STATUS   ; Recupera STATUS
    retfie                                     ; Retorna da
interrupção de baixa prioridade

;=====
;                                     CONFIGURAÇÃO HARDWARE
;-----
config_hw:
;-----
;                                     CONFIGURAÇÃO DAS PORTAS DE ENTRADA E SAÍDA
;-----
    movlw  0x0F
    movwf  ADCON1                     ; Configura todas as
portas como digital
    movlw  0x00
    movwf  TRISA                       ; PORTA configurado como
saída
    movlw  0x00
    movwf  TRISB                       ; PORTB configurado como
saída
    movlw  0x06
    movwf  TRISC                       ; Bits 1 e 2 do PORTC
configurado como entrada e os demais como saída
    movlw  0x00
    movwf  TRISD                       ; PORTD configurado como
saída
    movlw  0x00
    movwf  TRISE                       ; PORTE configurado como

```

```

saída
    setf   LATB                               ; Apaga os leds do PORTB
;-----
;                                     CONFIGURAÇÃO INTERRUPTÕES
;-----
    clrf  INTCON                               ; Limpa o registrador
INTCON
    clrf  INTCON2                             ; Limpa o registrador
INTCON2
    clrf  INTCON3                             ; Limpa o registrador
INTCON3
    clrf  PIE1                               ; Limpa o registrador PIE1
    clrf  PIE2                               ; Limpa o registrador PIE2
    clrf  PIR1                               ; Limpa o registrador PIR1
    clrf  PIR2                               ; Limpa o registrador PIR2
    clrf  IPR1                               ; Limpa o registrador IPR1
    clrf  IPR2                               ; Limpa o registrador IPR2
    movlw 0xC0
    movwf INTCON                               ;           Habilita
interrupções e periféricos
    bsf   RCON,IPEN                           ; Habilita prioridade
nas interrupções
;-----
;                                     CONFIGURAÇÃO TIMER 0
;-----
    movlw 0x88
    movwf T0CON                               ; Timer0 habilitado e
configurado com 16 bits e pré-escala 1:1
    clrf  TMR0L                               ; Limpa byte baixo
Timer0
    clrf  TMR0H                               ; Limpa byte alto
Timer0
    bcf   INTCON,TMR0IE                       ; Interrupção do Timer0
desabilitada
    bsf   INTCON2,TMR0IP                       ;           Habilita alta
prioridade para o Timer0
;-----
;                                     CONFIGURAÇÃO TIMER 1
;-----
    movlw 0x01
    movwf T1CON                               ; Timer1 habilitado e
configurado com 16 bits e pré-escala 1:1
    clrf  TMR1L                               ; Limpa byte baixo Timer1
    clrf  TMR1H                               ; Limpa byte alto Timer1
    bcf   IPR1,TMR1IP                         ;           Habilita baixa
prioridade para o Timer1
    bcf   PIE1,TMR1IE                         ;           Desabilita
interrupção do Timer1
;-----
;                                     CONFIGURAÇÃO CCP1
;-----
    movlw 0x05
    movwf CCP1CON                             ; Habilita captura de
toda borda de subida CCP1
    movlw 0x04
    movwf T3CON                               ; Configura Timer1 como clock
da CCP1
    bcf   IPR1,CCP1IP                         ;           Habilita baixa
prioridade para o CCP1

```

```

        bcf          PIE1,CCP1IE          ;          Desabilita
interrupção da CCP1
        ;-----
        ;          CONFIGURAÇÃO CCP2
        ;-----
        ;CAPTURA: CADA BORDA DE SUBIDA
        ;TIMER: SEM
        movlw 0x05
        movwf CCP2CON          ; Habilita captura de
toda borda de subida CCP2
        bcf          IPR2,CCP2IP        ;          Habilita baixa
prioridade para a CCP2
        bsf          PIE2,CCP2IE        ; Habilita interrupção
da CCP2
        ;=====

        ;=====
        ;          PROGRAMA PRINCIPAL
        ;-----
início:
        movlw pms_14_roda          ; Transfere 40 decimal para W
        movwf DENTE_ATUAL          ; Transfere valor de W para
variável DENTE_ATUAL
        clrf FLAG          ; Limpa todas as Flags
        movlw 0x57
        movwf LATB          ; Acende Leds RB7, RB5 e RB3
sincroniza:
        btfss f_volta_1          ; Testa Flag do PMS cilindro
1 e 2 pula próxima linha se igual a um
        bra          sincroniza          ; Se Flag igual a zero
volta para sincroniza
        bcf          PIR1,CCP1IF        ;          Limpa Flag de
ocorrência de interrupção da CCP1
        clrf TMR1          ; Limpa Timer1
        bsf          PIE1,CCP1IE        ; Habilita interrupção
da CCP1
loop:
        nop
        bra loop          ; Loop infinito
        ;=====

end

```

### 7.3. Apêndice C - Programa de sincronismo linguagem C

```

#include "config.h"
/*****DEFINIÇÕES*****/
#define falha_roda          0x73          // Posição da falha da
roda fônica
#define pms_14_roda          0x28          // Posição da fase do
comando de válvulas
#define fase          LATBbits.LB7          // Sinal espelhado do
sensor de fase
#define fonica          LATBbits.LB5          // Sinal espelhado do
sensor de rotação
#define digital          LATBbits.LB3          // Sinal gerado pela
roda virtual
/*****

```

```

    /*****VARIÁVEIS*****/
    unsigned char   DENTE_ATUAL           = 0;      // Variável de posição
do dente da roda fônica
    unsigned int    AUX_TMR0              = 0;      // Variável auxiliar do
Timer0
    unsigned char   f_volta_1             = 0;      // Flag indicadora de
volta
    unsigned char   f_dente_1             = 0;      // Flag indicadora do
dente um da roda fônica
    unsigned char   f_carga_tmr0          = 0;      // Flag indicadora de
carga do Timer0
    /*****/

    /*****PROTÓTIPO DE FUNÇÕES*****/
    void config_HW(void);                 // Protótipo de função de configuração do
microcontrolador
    /*****/

    /*****INTERRUPÇÕES*****/
    void high_priority interrupt ISR_High(void) // Rotina de
interrupção de alta prioridade
    {
        if((INTCONbits.TMR0IE)&&(INTCONbits.TMR0IF)) // Verifica se o
Timer0 está habilitado e se ocorreu interrupção
        {
            digital = ~digital; // Inverte o nível
lógico do sinal de saída da roda virtual
            INTCONbits.TMR0IE = 0; // Desabilita
interrupção do Timer0
            if(f_carga_tmr0 == 0) // Verifica se a
Flag da carga do Timer0 está carregada
            { // Se a Flag não
estiver carregada executa entre chaves
                TMR0 = AUX_TMR0; // Zera registrador
do Timer0
                INTCONbits.TMR0IE = 0x01; // Habilita interrupção
do Timer0
            }
            f_carga_tmr0 = 0x00; // Limpa Flag de
carga do Timer0
            INTCONbits.TMR0IF = 0x00; // Limpa Flag de
ocorrência de interrupção do Timer0
        }
    }
    void low_priority interrupt ISR_Low(void) // Rotina de
interrupção de baixa prioridade
    {
        if((PIE1bits.CCP1IE)&&(PIR1bits.CCP1IF)) // Verifica se a
CCP1 está habilitada e se ocorreu interrupção
        {
            LATBbits.LATB0 = 0x00;
            CCP1CONbits.CCP1M0 = ~CCP1CONbits.CCP1M0; // Inverte
leitura de borda de subida para descida ou vice versa
            if(f_dente_1 == 1) // Verifica Flag de
primeira interrupção após a falha da roda fônica
            { // Se não for a
primeira interrupção após a falha executa entre chaves
                AUX_TMR0 = ~(TMR1/2); // Divide por dois

```

```

o valor de Timer1 e salva o complemento desse valor na variável auxiliar de
Timer0
    TMR0                =  AUX_TMR0;           // Transfere o valor
da variável auxiliar de Timer0 para Timer0
    f_carga_tmr0        =  0x01;             // Carrega Flag
indicadora de carga do Timer0
    digital              =  0x00;           // Coloca sinal da
roda virtual em nível lógico baixo
    INTCONbits.TMR0IF   =  0x00;           // Limpa Flag de
ocorrência de interrupção do Timer0
    INTCONbits.TMR0IE  =  0x01;           // Habilita interrupção
do Timer0
    }
    f_dente_1           =  0x01;           // Carrega Flag de
primeira interrupção após a falha da roda fônica
    TMR1                =  0x00;           // Zera registrador
do Timer1
    fonica               =  ~fonica;        // Inverte estado
lógico do sinal da Roda fônica
    DENTE_ATUAL++;      // Incrementa
variável de posição da roda fônica
    if(DENTE_ATUAL > falha_roda)           // Compara variável
de posição da roda fônica com valor de referência da falha
    {                                       // Se variável maior
que valor de referência executa entre chaves
        f_volta_1        =  ~f_volta_1;    // Inverte indicador
de volta 1 para volta 2 e vice versa
        DENTE_ATUAL      =  0x00;          // Zera variável de
posição da roda fônica
        f_carga_tmr0     =  0x00;          // Limpa Flag
indicadora de carga do Timer0
        f_dente_1        =  0x00;          // Limpa Flag
indicadora de primeira interrupção após falha da roda fônica
    }
    PIR1bits.CCP1IF     =  0x00;          // Limpa Flag de
ocorrência de interrupção da CCP1
    }
    if((PIE2bits.CCP2IE)&&(PIR2bits.CCP2IF)) // Verifica se a
CCP@ está habilitada e se ocorreu interrupção
    {
        CCP2CONbits.CCP2M0 =  ~CCP2CONbits.CCP2M0; // Inverte
leitura de borda de subida para descida ou vice versa
        fase                =  ~fase;          // Inverte
estado lógico do sinal de fase do comando de válvulas
        f_volta_1           =  0x01;          // Habilita
Flag indicadora de primeira volta d ciclo Otto
        PIR2bits.CCP2IF     =  0x00;          // Limpa
Flag de ocorrência de interrupção da CCP2
    }
    LATBbits.LATB0 =  0x01;
}
//*****

/*****CONFIGURAÇÃO DO HARDWARE*****/
void config_HW(void) // Função de configuração do
microcontrolador
{
    //          ENTRADAS E SAÍDAS
    ADCON1 =  0x0F; // Configura todas portas de entrada como digitais

```

```

TRISA = 0x00; // Configura PORTA como saída
TRISB = 0x00; // Configura PORTB como saída
TRISC = 0x06; // Configura RC1 e RC2 como entrada e as demais portas
do PORTC como saída
TRISD = 0x00; // Configura PORTD como saída
TRISE = 0x00; // Configura PORTE como saída
LATB = 0xFF; // Apaga Leds do PORTB
// CONFIGURAÇÃO INTERRUPÇÕES
INTCON = 0xC0; // Habilita interrupções e periféricos
INTCON2 = 0x00; // Zera registrador INTCON2
INTCON3 = 0x00; // Zera registrador INTCON3
PIE1 = 0x00; // Zera registrador PIE1
PIE2 = 0x00; // Zera registrador PIE2
PIR1 = 0x00; // Zera registrador PIR1
PIR2 = 0x00; // Zera registrador PIR2
IPR1 = 0x00; // Zera registrador IPR1
IPR2 = 0x00; // Zera registrador IPR2
IPEN = 0x01; // Habilita prioridade de interrupções
// CONFIGURAÇÃO TIMER 0
T0CON = 0x88; // Configura Timer0 com 16 bits e pré-escala
de 1:1
TMR0 = 0x00; // Zera registrador do Timer0
TMR0IE = 0x00; // Limpa Flag de ocorrência do Timer0
TMR0IP = 0x01; // Habilita prioridade alta para interrupção
do Timer0
// CONFIGURAÇÃO TIMER 1
T1CON = 0x01; // Configura Timer1 com 16 bits e pré-escala
de 1:1
TMR1L = 0x00; // Zera registrador do Timer1
TMR1IP = 0x00; // Habilita prioridade baixa para interrupção
do Timer1
TMR1IE = 0x00; // Desabilita Interrupção do Timer1
// CONFIGURAÇÃO CCP1
CCP1CON = 0x05; // Configura modo de captura de toda borda de
subida da CCP1
T3CON = 0x08; // Configura Timer1 como base de tempo da CCP1
CCP1IP = 0x00; // Habilita prioridade baixa para interrupção
do CCP1
CCP1IE = 0x00; // Desabilita interrupção da CCP1
// CONFIGURAÇÃO CCP2
CCP2CON = 0x05; // Configura modo de captura de toda borda de
subida da CCP2
CCP2IP = 0x00; // Habilita prioridade baixa para interrupção
do CCP2
CCP2IE = 0x01; // Habilita interrupção da CCP2
}
/*****
/*****PROGRAMA PRINCIPAL*****/
void main(void)
{
    config_HW(); // Executa função para
configurar microcontrolador
    DENTE_ATUAL = pms_14_rodas; // Transfere valor de PMS
para dente atual
    LATB = 0x57; // Acende leds do RB7, RB5
e RB3

```

